



โครงการการเรียนการสอนเพื่อเสริมประสบการณ์

ผลกระทบของมอนเตอร์มอริลออนไลน์ต่อผลลัพธ์
ต่อการเคลื่อนตัวของอาร์ซิเนตในคลัมมน์ทรายอิมตัว

โดย

นางสาวสุกัญญา กลังเนียม
เลขประจำตัวนิสิต 5932739723

โครงการนี้เป็นส่วนหนึ่งของการศึกษาระดับปริญญาตรี
ภาควิชาธารณีวิทยา คณะวิทยาศาสตร์ จุฬาลงกรณ์มหาวิทยาลัย
ปีการศึกษา 2562

ผลกระทบของมอนเตอร์มอริลโล่ในต่อคอลล้อยด์ต่อการเคลื่อนตัวของอาร์ซิเนตในคลัมป์รายอิมตัว

นางสาวสุกัญญา กลั้งเนียม

โครงการนี้เป็นส่วนหนึ่งของการศึกษาตามหลักสูตรปริญญาวิทยาศาสตร์บัณฑิต
ภาควิชาธรณีวิทยา คณะวิทยาศาสตร์ จุฬาลงกรณ์มหาวิทยาลัย
ปีการศึกษา 2562

IMPACT OF MONTMORILLONITE COLLOID ON TRANSPORT OF ARSENATE
IN SATURATED SAND COLUMN

MISS SUKANNEE KLANGNIAM

A REPORT SUBMITTED IN PARTIAL FULFILLMENT OF THE REQUIREMENTS
FOR THE DEGREE OF THE BACHELOR OF SCIENCE PROGRAM IN GEOLOGY
DEPARTMENT OF GEOLOGY, FACULTY OF SCIENCE, CHULALONGKORNUNIVERSITY
ACADEMIC YEAR 2019

หัวข้อโครงการ

ผลกระทบของมอนเติร์มอริลโลในต่อคอลลอยด์ต่อการเคลื่อนตัวของอาร์ซีเนตในคอลัมน์ทรายอิมตัว

ໄຊ

นางสาวสุกัญญา กลั่งเนิยม

สาขาวิชา

ຮຽນວິທາ

อาจารย์ที่ปรึกษาโครงการ รองศาสตราจารย์ ดร.ศรีเลิศ โชคพันธุ์รัตน์

วันที่ส่ง / /

วันอนุมติ/...../.....

..... อาจารย์ที่ปรึกษา
(รองศาสตราจารย์ ดร.ศรีเลิศ โขติพันธุ์ตน)

Project Title IMPACT OF MONTMORILLONITE COLLOID ON TRANSPORT OF
 ARSENATE IN SATURATED SAND COLUMN

By Miss Sukanee Klangniam

Field of study Geology

Advisor Assoc. Prof. Srilert Chotpantarat

Submitted date/...../.....

Aproval date/...../.....

..... Project Advisor
(Assoc. Prof. Srilert Chotpantarat)

สุกัญญา กลังเนียม : ผลกระทบของมอนต์มอริลโลไนต์คอลloidต่อการเคลื่อนตัวของอาร์ซีเนตในคอลัมน์ทรายอิ่มตัว (IMPACT OF MONTMORILLONITE COLLOID ON TRANSPORT OF ARSENATE IN SATURATED SAND COLUMN)

อาจารย์ที่ปรึกษา : รองศาสตราจารย์ ดร.ศรีเลิศ โชคพันธุรัตน์, 42 หน้า

การวิจัยครั้งนี้ทำการศึกษาผลกระทบของมอนต์มอริลโลไนต์คอลloidต่อการเคลื่อนตัวของอาร์ซีเนตโดยทดลองในคอลัมน์ที่บรรจุทรายซึ่งจำลองภายใต้การไหลของชั้นน้ำดาลเมียรงดัน ทำการทดลอง 3 คอลัมน์ที่มีค่าพีเอชแตกต่างกันคือ 4.7 และ 10 ที่ความเข้มข้นเริ่มต้นของอาร์ซีเนตและมอนต์มอริลโลไนต์ประมาณ 10 และ 100 mg/l ตามลำดับ ให้ผลผ่านคอลัมน์ทรายอิ่มตัวจากด้านล่างสู่ด้านบนด้วยความเร็วคงที่เท่ากับ 0.159 เซนติเมตรต่อนาที จากการทดลองพบว่าที่พีเอชเท่ากับ 4.7 และ 10 อาร์ซีเนตที่ถูกดูดซับโดยมอนต์มอริลโลไนต์และเคลื่อนที่ออกมายังคอลัมน์คิดเป็นร้อยละ 13.16, 16.32 และ 2.99 ของมวลอาร์ซีเนตที่เคลื่อนที่เข้าไปในคอลัมน์ โดยมีค่าปัจจัยความหน่วง (Retardation factor) เพิ่มขึ้นจาก 2.29 เป็น 4.57 เมื่อพีเอชลดลงจากพีเอช 10 เป็นพีเอช 4 ขนาดของอนุภาคมอนต์มอริลโลไนต์ลดลงจาก 1150.50 nm เป็น 306.06 nm เมื่อเพิ่มจากพีเอช 4 เป็นพีเอช 10 เนื่องจากมอนต์มอริลโลไนต์คอลloidค้างอยู่ภายในคอลัมน์ ส่งผลให้อาร์ซีเนตที่ถูกดูดซับโดยมอนต์มอริลโลไนต์เคลื่อนที่ออกจากคอลัมน์ช้าในสภาวะที่เป็นกรด เมื่อเปรียบเทียบการเคลื่อนที่ของอาร์ซีเนตโดยมีและไม่มีผลของมอนต์มอริลโลไนต์ พบร่วยว่าอาร์ซีเนตเคลื่อนที่ภายในคอลัมน์ทรายอิ่มตัวได้เร็วขึ้นเมื่อมีมอนต์มอริลโลไนต์ โดยอาร์ชูเนตในคอลัมน์ที่มีมอนต์มอริลโลไนต์มีความเร็วในการเคลื่อนที่สูงขึ้นร้อยละ 55.06 และ 61.19 ที่พีเอช 4 และ 7 ตามลำดับ ซึ่งพฤติกรรมการดูดซับอาร์ซีเนตภายในคอลัมน์ทรายอิ่มตัวอธิบายได้ด้วยผลจากโปรแกรม Hydus-1D โดยพบว่าที่พีเอช 10 มีพฤติกรรมการดูดซับสองคลื่นกับ two-site model (TSM) โดยมีค่า R-Squared เท่ากับ 0.9917 ในขณะที่พีเอช 4 และ 7 สอดคล้องกับ Equilibrium model (CDeq) โดยมีค่า R-Squared เท่ากับ 0.9569 และ 0.9759 ตามลำดับ เช่นเดียวกับผลการศึกษาพฤติกรรมการดูดซับของอาร์ซีเนตภายในคอลัมน์ทรายอิ่มตัวโดยไม่มีผลของมอนต์มอริลโลไนต์ ดังนั้นการมีมอนต์มอริลโลไนต์จึงไม่ได้เปลี่ยนพฤติกรรมการดูดซับของอาร์ซีเนตที่พีเอชเท่ากับ 4 และ 7 และจากข้อมูลพารามิเตอร์ที่ได้จาก HYDRUS-1D พบร่วยว่าค่าคงที่ของฟรุนดริช (Freundlich constants, K_F) ของแบบจำลอง Equilibrium model ลดลงจาก 4.363 เป็น 4.094 และ 3.714 เช่นเดียวกับ Nonequilibrium model ก็ลดลงจาก 4.763 เป็น 4.672 และ 3.778 สำหรับพีเอช 4.7 และ 10 ตามลำดับ

ภาควิชา	ธรณีวิทยา	ลายมือชื่อนิสิต
สาขาวิชา	ธรณีวิทยา	ลายมือชื่อ อ.ที่ปรึกษา.....
ปีการศึกษา	2562	

5932739723: MAJOR GEOLOGY

KEYWORD : MONTMORILLONITE COLLOID / ARSENATE / GROUNDWATER / ARSENATE
TRANSPORT / HEAVY METAL TRANSPORT / PH

**SUKANNEE KLANGNIAM: IMPACT OF MONTMORILLONITE COLLOID ON TRANSPORT
OF ARSENATE IN SATURATED SAND COLUMN**

ADVISORS : ASSOC. PROF. DR. SRILERT CHOTPANTARAT , 42 pp.

This research investigated the impact of montmorillonite colloid on the transport of arsenate (As(V)) through a saturated sand column. The As(V) bearing montmorillonite colloid solution at pH 4, 7, and 10 flow from the bottom to top of the column with stable flow rate at 0.159 cm/min. The initial concentrations of As(V) and montmorillonite were approximately 10 and 100 mg/l, respectively. Based on the column experiments, As(V) was adsorbed by montmorillonite, and transport through the column was approximately 13.16%, 16.32%, and 2.99% of The total mass As(V) that inject the column, for pH 4, 7, and 10, respectively. Furthermore, the retardation factor (RF) of As(V) generally increased from 4.57 to 2.29 with decreasing pH from pH 10 to pH 4. The particle size of montmorillonite colloids depends on solution pH and appeared to decline from 1150.50 nm to 306.06 nm with increasing pH from pH 4 to pH 10. This causes montmorillonite colloid retain inside sand particle, leading As(V) adsorbed by montmorillonite move through the saturated sand column slower at the lower pH condition. As comparing the transport of As(V) with and without montmorillonite colloids, it showed that As(V) in the column with montmorillonite colloid could move faster higher than the other one approximately 55.06% and 61.19% for pH 4 and 7 respectively. Finally, the mechanism of As(V) sorption at pH 10 columns corresponded to the two-site model (TSM) with R-Squared of 0.9917, whereas at pH 4 and pH 7 corresponded to the uniform (equilibrium) solute transport (CDeq) model with R-Squared 0.9569 0.9759, respectively. Interestingly, the mechanism of As(V) sorption can be explained by uniform (equilibrium) solute transport model (CDeq) at pH 4 and pH 7, regardless of the appearance of montmorillonite colloid in sand columns. The parameters from Hydus-1D showed that Freundlich constant (K_F) from both of CDeq and TSM tends to decrease for pH 4,7 and 10, respectively.

กิตติกรรมประกาศ

การจัดทำงานวิจัยนี้ผู้จัดทำขอขอบพระคุณ รองศาสตราจารย์ ดร. ศรีเลศ โขตพันธ์รัตน์ อาจารย์ที่ปรึกษาโครงการ ที่คอยให้ความรู้และคำแนะนำตลอดกระบวนการทำงาน ตั้งแต่การเตรียมสาร การทดลอง และการวิเคราะห์ผลการทดลอง รวมถึงการนำเสนอและการจัดทำฐานของงานวิจัยนี้

ขอขอบพระคุณคณาจารย์ภาควิชาธรณีวิทยา คณะวิทยาศาสตร์ จุฬาลงกรณ์มหาวิทยาลัย ที่คอยให้คำแนะนำตลอดการทำงาน ขอขอบพระคุณคุณจริยะภา เนียมปาน และคุณบรรจง พวงทอง เจ้าหน้าที่ห้องปฏิบัติการธรณีเคมี ที่คอยให้ความช่วยเหลือและคำแนะนำในการใช้ห้องปฏิบัติการ รวมถึงบุคลากรภาควิชาธรณีวิทยา คณะวิทยาศาสตร์ จุฬาลงกรณ์มหาวิทยาลัย ที่คอยประสานงานจนโครงการนี้สำเร็จลุล่วงไปได้ด้วยดี

ขอขอบพระคุณศูนย์ความเป็นเลิศด้านการจัดการสารและของเสียอันตราย จุฬาลงกรณ์มหาวิทยาลัย และนางสาวฉันทนา อินทิม ที่ให้ความอนุเคราะห์ใช้ห้องปฏิบัติการและอุปกรณ์เพื่อทำการทดลองในวิจัยครั้งนี้ ขอขอบพระคุณนางสาวสาวิ吉กา บุญแก้ววรรณ, นายพงศธร รัณณวัชรกุล และนางสาวกัญชลิกา แก้วสาระแสน ที่คอยให้ความช่วยเหลือและคำแนะนำตลอดระยะเวลาการทำงานวิจัย

ขอขอบพระคุณโรงพยาบาลวิทยาลัยสุรนารี ที่เอื้อเพื่อสถานที่และเครื่องมือในการวิเคราะห์ปริมาณ อาร์ซิเนตที่เคลื่อนที่ออกแบบจากคอลัมน์รายอื่นๆ และการวิเคราะห์ขนาดและ Zeta potential ของอนุภาค อนุตัวมอร์โนโลไมต์คอลลอยด์

ขอขอบพระคุณหอพักนิสิตจุฬา และโครงการ CU V Care ที่ติดต่อประสานงาน เอื้อเพื่อสถานที่และอาหาร ในช่วงกักตัวเป็นระยะเวลา 14 วัน ก่อนการเข้าใช้ห้องปฏิบัติการ ในขณะที่มีระบาดของ COVID-19

ขอขอบคุณนางสาวอรุณ เชาว์โพธิ์ทอง ที่ร่วมกันระดมความคิดและลงมือทำตั้งแต่วันแรกจนถึงวันสุดท้ายของการทำงาน นางสาวมนิสรา สุขปั้ง, นางสาวมัณฑุญา ก่อเกียรติเจริญ, นางสาวศรีอมรา มีพรึง, นางสาวเกศินี หอมจันทร์, นางสาวนรัตน์ ศุกรสุด ที่ช่วยเตรียมสารเพื่อใช้ในการทดลอง นายรัชพล หนูทอง, นายธีรวัฒน์ ตีกโพธิ์ ที่ให้คำแนะนำในการเตรียมตัวอย่างเพื่อวิเคราะห์ XRF และนางสาวกุลญาดา สุขสมพงษ์ ที่ร่วมเดินทางไปวิเคราะห์ปริมาณอาร์ซิเนต ณ โรงพยาบาลวิทยาลัยสุรนารี และขอขอบคุณเพื่อนๆ นิสิต ภาควิชาธรณีวิทยา คณะวิทยาศาสตร์ จุฬาลงกรณ์มหาวิทยาลัย ทุกคนที่คอยเป็นกำลังใจตลอดการทำงาน ท้ายที่สุดนี้ขอขอบคุณ GOT7 ที่สร้างรอยยิ้มทุกสถานการณ์ความเครียดของการทำงาน

นางสาวสุกัญญา กลังเนียม
(ผู้จัดทำ)

สารบัญ

	หน้า
เรื่อง	ก
บทคัดย่อ (ภาษาไทย)	ก
บทคัดย่อ (ภาษาอังกฤษ)	ข
กิตติกรรมประกาศ	ค
สารบัญ	ง
สารบัญตาราง	ฉ
สารบัญรูปภาพ	ช
บทที่ 1 บทนำ	1
1.1 ที่มาและความสำคัญ	1
1.2 วัตถุประสงค์ของงานวิจัย	2
1.3 สมมุติฐาน	2
1.4 ขอบเขตการศึกษา	2
1.5 ผลที่คาดว่าจะได้รับ	2
บทที่ 2 งานวิจัยและทฤษฎีที่เกี่ยวข้อง	3
2.1 งานวิจัยที่เกี่ยวข้อง	3
2.1.1 สารหนู (Arsenic, As)	3
2.1.2 มอนต์มอริลโลไนต์ (Montmorillonite)	4
2.1.3 การดูดซึบและการพาอาร์ซิเนตของมอนต์มอริลโลไนต์	6
2.1.4 การเคลื่อนที่ของอนุภาค colloidal	7
2.1.5 การดูดซึบของอนุภาค colloidal	8
2.2 ทฤษฎี	9
2.2.1 Retardation factor	9
2.2.2 Hydus-1D Program	10
บทที่ 3 ระเบียบวิธีวิจัย	12
3.1 วัสดุและสารที่ใช้ในการทดลอง	12
3.2 ขั้นตอนการดำเนินงานวิจัย	12
1. ศึกษาข้อมูลพื้นฐานและวิธีการศึกษาเบื้องต้น	12
2. ออกแบบการทดลองและเตรียมสารที่ใช้ในการทดลอง	12
3. ทำการทดลองและวิเคราะห์ผลการทดลอง	15

สารบัญ (ต่อ)

	หน้า
เรื่อง	หน้า
บทที่ 4 ผลการศึกษาและอภิปรายผล	18
4.1 ผลการวิเคราะห์ขนาดของมอนต์มอริลโลในต่อคอลลอยด์ก่อนการทดลอง	18
4.2 การเคลื่อนตัวของอาร์ซิเนตโดยมอนต์มอริลโลในต่อคอลลอยด์ ในคอลัมน์ทรายอิมตัวที่ค่าพีเอชต่างๆ	18
4.3 แบบจำลองการเคลื่อนที่ของอาร์ซิเนตผ่านคอลัมน์ทรายอิมตัว โดยโปรแกรม Hydus-1D	26
4.4 ผลการวิเคราะห์พื้นผิวของเม็ดทราย	29
บทที่ 5 สรุปผลและข้อเสนอแนะ	31
5.1 สรุปผลการศึกษา	31
5.2 ข้อเสนอแนะ	31
เอกสารอ้างอิง	32
ภาคผนวก	35

สารบัญตาราง

เรื่อง	หน้า
ตารางที่ 4.1 ขนาดของอนุภาคคอลลอยด์	18
ตารางที่ 4.2 คุณสมบัติของคอลัมน์ทรายอิมตัวที่ใช้ในการทดลองที่ค่าพีเอชเท่ากับ 4, 7 และ 10	18
ตารางที่ 4.3 ความเข้มข้นเริ่มต้นของมอนต์มอริลโลในต่อคอลลอยด์และอาร์ซิเนตที่ค่าพีเอชต่างๆ	19
ตารางที่ 4.4 ปริมาณอาร์ซิเนตที่ถูกดูดซับโดยมอนต์มอริลโลในต์และเคลื่อนที่ออกจากคอลัมน์	22
ตารางที่ 4.5 Retardation factor ของอาร์ซิเนตทั้งหมดที่พีเอชเท่ากับ 4, 7 และ 10	23
ตารางที่ 4.6 ขนาดอนุภาคของมอนต์มอริลโลในต่อคอลลอยด์	23
ตารางที่ 4.7 Zeta potential ของมอนต์มอริลโลในต่อคอลลอยด์	23
ตารางที่ 4.8 เปรียบเทียบคุณสมบัติของคอลัมน์ทรายอิมตัวที่ค่าพีเอชเท่ากับ 4, 7 และ 10	24
ตารางที่ 4.9 เปรียบเทียบ Retardation factor ของอาร์ซิเนตเมื่อมีและไม่มีผลของ มอนต์มอริลโลในต์ในสารละลายที่พีเอช 4 และ 7	26
ตารางที่ 4.10 ค่าพารามิเตอร์ของเส้นโค้งที่เหมาะสมที่ได้จากโปรแกรม Hydus-1D	29

สารบัญรูปภาพ

เรื่อง	หน้า
รูปที่ 2.1 รูปแบบของอาร์ชีเนตที่เสถียรภายใต้สภาวะค่าพีเอชที่แตกต่างกัน	4
รูปที่ 2.2 โครงสร้างทางกายภาพของมอนต์มอริลโลไลต์	5
รูปที่ 2.3 ประจุไฟฟ้าที่ผิวของแร่ดิน	5
รูปที่ 2.4 ค่าศักย์ซีตา (Zeta potential) ของพื้นผิวของแข็งที่ล้อมรอบด้วยไอออนในสารละลาย	8
รูปที่ 3.1 รายที่ผ่านการล้างด้วย NaOH และ HNO ₃ ในเครื่องอัลตราโซนิก	13
รูปที่ 3.2 ขั้นตอนการกรองเพื่อกำจัดโลหะออกไซด์และอนุภาคอื่นๆ บนผิวราย	13
รูปที่ 3.3 สารละลายมอนต์มอริลโลไลต์	14
รูปที่ 3.4 การแยกชั้นของมอนต์มอริลโลไลต์คอลลอยด์ เมื่อเติมแคลเซียมคลอไรด์ความเข้มข้น 1 M	14
รูปที่ 3.5 แผนภาพแสดงชุดการทดลอง	15
รูปที่ 3.6 ชุดการทดลองคอลัมน์รายอิ่มตัว	15
รูปที่ 3.7 Flowchart ขั้นตอนการดำเนินงานและวิเคราะห์ผลการทดลอง	17
รูปที่ 4.1 กราฟ breakthrough ระหว่างความเข้มข้นของอาร์ชีเนตต่อความเข้มข้นเริ่มต้น (C/C_0) กับปริมาตรรูปrunที่ค่าพีเอชเท่ากับ 4	19
รูปที่ 4.2 กราฟ breakthrough ระหว่างความเข้มข้นของอาร์ชีเนตต่อความเข้มข้นเริ่มต้น (C/C_0) กับปริมาตรรูปrunที่ค่าพีเอชเท่ากับ 7	20
รูปที่ 4.3 กราฟ breakthrough ระหว่างความเข้มข้นของอาร์ชีเนตต่อความเข้มข้นเริ่มต้น (C/C_0) กับปริมาตรรูปrunที่ค่าพีเอชเท่ากับ 10	20
รูปที่ 4.4 กราฟ breakthrough ระหว่างความเข้มข้นของอาร์ชีเนตทั้งหมดที่ค่าพีเอช 4, 7 และ 10	21
รูปที่ 4.5 กราฟ breakthrough เปรียบเทียบการเคลื่อนที่ของอาร์ชีเนตในคอลัมน์รายอิ่มตัว กับอาร์ชีเนตที่มีมอนต์มอริลโลไลต์คอลลอยด์ ที่ค่าพีเอชเท่ากับ 4	24
รูปที่ 4.6 กราฟ breakthrough เปรียบเทียบการเคลื่อนที่ของอาร์ชีเนตในคอลัมน์รายอิ่มตัว กับอาร์ชีเนตที่มีมอนต์มอริลโลไลต์คอลloyd ที่ค่าพีเอชเท่ากับ 7	25
รูปที่ 4.7 เส้นโค้งที่เหมาะสม (Curve fitting) ของ Equilibrium model (Eq) และ The two-site model (TSM) ของอาร์ชีเนตทั้งหมด	26
รูปที่ 4.8 (ก) มอนต์มอริลโลไลต์บนพื้นผิวของราย (ข) สเปกตรัม EDX บนผิวราย ที่ค่าพีเอช 4	29
รูปที่ 4.8 (ก) มอนต์มอริลโลไลต์บนพื้นผิวของราย (ข) สเปกตรัม EDX บนผิวราย ที่ค่าพีเอช 7	29
รูปที่ 4.10 (ก) มอนต์มอริลโลไลต์บนพื้นผิวของราย (ข) สเปกตรัม EDX บนผิวราย ที่ค่าพีเอช 10	30

บทที่ 1

บทนำ

1.1 ที่มาและความสำคัญ

สารหนู (Arsenic, As) เป็นธาตุก่ิ่งโลหะชนิดหนึ่งที่พบในแหล่งน้ำธรรมชาติ ทั้งในรูปแบบของสารอินทรีย์ที่อยู่กระบวนการเมtabolismของสิ่งที่ชีวิต และสารอนินทรีย์ (Duker et al., 2005) โดยสารหนูที่มีสถานะออกซิเดชัน +3 และ +5 (Arsenite, As^{3+} , Arsenate, As^{5+}) พบมากที่สุดในแหล่งน้ำ (Greenwood and Earnshaw, 1984) การปนเปื้อนของสารหนูในแหล่งน้ำธรรมชาติเกิดจากลักษณะทางธรณีวิทยาและกิจกรรมของมนุษย์ เช่น การทำเหมืองแร่ เป็นผลให้เกิดสารหนูจากการออกซิเดชันของแร่ชัลไฟร์ด (Smedley and Kinniburgh, 2002) แต่เนื่องจากสารหนูมีความเป็นพิษและเป็นสารก่อมะเร็ง ดังนั้นสำนักงานปกป้องสิ่งแวดล้อมแห่งสหรัฐอเมริกา ได้มีการกำหนดค่ามาตรฐานของสารหนูที่ยอมรับได้ในน้ำดื่มต้องมีปริมาณไม่เกิน 0.01 mg/L (USEPA, 2001) แต่จากรายงานสถานการณ์น้ำบาดาล ปี พ.ศ. 2560 พบว่าในหลายพื้นที่ของประเทศไทยยังคงมีปริมาณสารหนูเกินค่ามาตรฐาน เช่น บริเวณแขวงน้ำบาดาลราชบูร ตรวจพบบ่อบาดาลที่มีสารหนูเกินมาตรฐานในชั้นน้ำบาดาลที่เป็นหินร่วนร้อยละ 20.61 จากบ่อที่ทำการวัดในถ้ำผน มีปริมาณสารหนูอยู่ระหว่าง $10.90\text{-}497.5 \mu\text{g/L}$ และชั้นน้ำบาดาลที่เป็นหินแข็งพบสารหนูเกินมาตรฐานร้อยละ 38.18 จากบ่อที่ทำการวัดในถ้ำผน มีค่าอยู่ระหว่าง $10.3\text{-}258.8 \mu\text{g/L}$ และมีแนวโน้มปริมาณสารหนูเกินมาตรฐานสูงขึ้นในถ้ำผนแล้ว

แร่ดิน (Clay mineral) ถูกนำมาใช้ในการดูดซับสารหนูอย่างแพร่หลาย เนื่องจากพบเป็นปริมาณมาก ในสิ่งแวดล้อม และมีคุณสมบัติที่เหมาะสม ก่อร่องคือ มีพื้นที่ผิวมาก และมีความสามารถในการแตกเปลี่ยนไออกอนบวกและไออกอนลบ (Hu and Luo, 2010) จากการศึกษาของ Frost and Griffin (1997) พบว่าสารหนู (As^{3+} , As^{5+}) จากน้ำที่ชะชะบูดฟอย ถูกดูดซับโดยแร่อมònต์มอริลโลไนต์ (Montmorillonite) ได้ดีกว่าแร่เคลโอลิไนต์ (kaolinite) เพราะมีพื้นที่ผิวมากกว่า และจากการวิเคราะห์องค์ประกอบของพื้นผิวของอมònต์มอริลโลไนต์ที่มีการดูดซับสารหนู (As^{3+} , As^{5+}) โดยใช้ X-ray photoelectron spectroscopy แสดงให้เห็นว่าอะตอมของออกซิเจนที่ผิวของอมònต์มอริลโลไนต์มีการสร้างพันธะกับสารหนู จึงสามารถดูดซับสารหนูได้ (Ren et al., 2014)

อนุภาคคลอลอยด์พบได้ทั่วไปในสภาพแวดล้อมใต้ผิวดิน โดยมีขนาดเส้นผ่านศูนย์กลางอยู่ระหว่าง 1 นาโนเมตร ถึง 10 ไมโครเมตร (Kretzschmar et al., 1999) และในน้ำบาดาลมีความเข้มข้นของอนุภาคคลอloyด์เป็นกระบวนการสำคัญที่เกี่ยวข้องกับการเคลื่อนที่ของโลหะหนักในสภาพแวดล้อมใต้ผิวดิน เนื่องจากอนุภาคคลอloyด์มีพื้นที่ผิวและมีความเข้มของประจุบริเวณพื้นผิวสูง ทำให้มีความสามารถในการดูดซับที่ดี (Amrhein et al. 1993; De Jonge et al. 2004) จากการศึกษาของ Lee et al. (2018) พบว่าความเข้มข้นของสารหนู (As) โคโรเมียม (Cr) และตะกั่ว (Pb) ในดินเพิ่มขึ้นเมื่อความเข้มข้นของคลอloyด์เพิ่มขึ้น โดยความเข้มข้นของอนุภาคคลอloydเพิ่มมากขึ้นเมื่อพื้นที่เชิงเรียงซ้อน แต่อย่างก็ตามการศึกษาที่ผ่านมาเป็นการ

ทดลองในระบบบีดที่มีความสมดุลทางเคมี (Batch experiment) โดยไม่คำนึงถึงระบบการให้ของน้ำบาดาล ซึ่งอาจจะมีผลต่อการเคลื่อนที่และดูดซับโลหะหนักของอนุภาค colloidal ดังนั้นผู้จัดทำจึงมีความสนใจที่จะศึกษาผลของมอนต์莫ริลโลไลน์ที่เป็นอนุภาค colloidal ต่อการเคลื่อนตัวของอาร์ซิเนต โดยทดลองในรูปแบบของการทดลองในคอลัมน์รายอิ่มตัว รวมผลของค่าพีเอชต่อการดูดซับอาร์ซิเนตของมอนต์莫ริลโลไลน์คolloidal

1.2 วัตถุประสงค์

1. เพื่อศึกษาผลของมอนต์莫ริลโลไลน์ต่คอลล้อยด์ต่อการเคลื่อนตัวของอาร์ซิเนตในคอลัมน์รายอิ่มตัว
2. เพื่อศึกษาผลของการเปลี่ยนแปลงค่าพีเอชต่อความสามารถในการเคลื่อนตัวของอาร์ซิเนตในมอนต์莫ริลโลไลน์ต่คอลล้อยด์ภายในคอลัมน์รายอิ่มตัว

1.3 สมมติฐาน

1. มอนต์莫ริลโลไลน์ต่คอลล้อยด์มีผลต่อการเคลื่อนตัวของอาร์ซิเนตในคอลัมน์รายอิ่มตัว
2. การเปลี่ยนแปลงค่าพีเอชมีผลต่อความสามารถในการเคลื่อนตัวของอาร์ซิเนตและมอนต์莫ริลโลไลน์ต่คอลล้อยด์ภายในคอลัมน์รายอิ่มตัว

1.4 ขอบเขตการศึกษา

การศึกษารึนี้เป็นการศึกษาผลของค่าพีเอช 4, 7 และ 10 ต่อการดูดซับอาร์ซิเนตของมอนต์莫ริลโลไลน์ต่คอลล้อยด์ (Montmorillonite K10) โดยทำการศึกษาในระบบคอลัมน์รายอิ่มตัว

1.5 ผลที่คาดว่าจะได้รับ

ทราบผลของการเปลี่ยนแปลงค่าพีเอช และความสามารถสัมพันธ์ของการเคลื่อนตัวของอาร์ซิเนตกับมอนต์莫ริลโลไลน์ต่คอลล้อยด์ในคอลัมน์รายอิ่มตัว

บทที่ 2

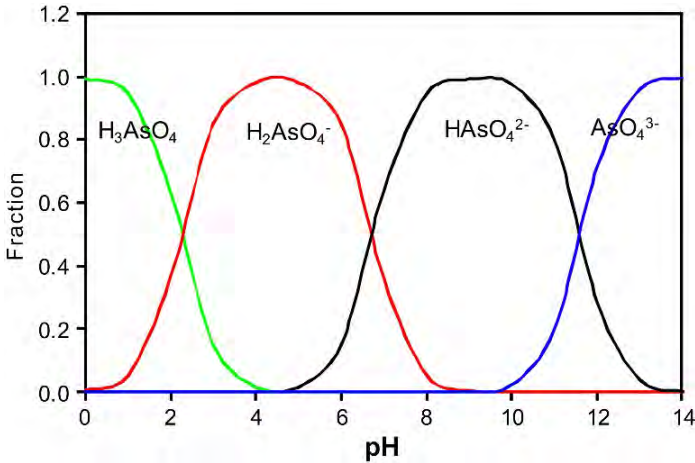
งานวิจัยและพัฒนาที่เกี่ยวข้อง

2.1 งานวิจัยที่เกี่ยวข้อง

2.1.1 สารหนู (Arsenic, As)

สารหนู (Arsenic, As) เป็นธาตุกึ่งโลหะ ที่มีเลขอะตอมเท่ากับ 33 และมีมวลอะตอม 74.921 g/mol สารหนูเป็นองค์ประกอบตามธรรมชาติของเบล็อกโลก โดยสามารถปนเปื้อนเข้าสู่แหล่งน้ำทั้งในรูปแบบของสารอินทรีย์ที่อยู่ในกระบวนการเมตาbolism ของสิ่งที่ชีวิต และสารอนินทรีย์ (Duker et al., 2005) ผ่านกระบวนการทางธรณีวิทยาและกิจกรรมของมนุษย์ ตัวอย่างการเกิดสารหนูตามธรรมชาติ เช่น เกิดจากการผุกร่อนของหินและตะกอน ความร้อนใต้พิภพ เป็นต้น แหล่งกำเนิดสารหนูจากกิจกรรมของมนุษย์ ได้แก่ การทำเหมืองแร่ เป็นผลให้เกิดสารหนูจากการออกซิเดชันของแร่ชัลไฟฟ์ (Smedley and Kinniburgh, 2002) การใช้สารกำจัดศัตรูพืช การฉล้างผ่านหลุ่มฝังกลบของเสีย การผลิตถ่านหินและปิโตรเลียม สารหนูมีพิษเฉียบพลันและก่อให้เกิดการอักเสบของกระเพาะอาหารและลำไส้อย่างรุนแรง ทำให้อาเจียน ถ่ายอุจจาระเป็นน้ำหรือเป็นเลือด เกิดความผิดปกติของหัวใจ มีไข้สูง ความดันต่ำ เป็นต้น (กรมทรัพยากรธรณี, 2554) ดังนั้นสำนักงานปกป้องสิ่งแวดล้อมแห่งสหรัฐอเมริกาได้มีการกำหนดค่ามาตรฐานของสารหนูที่ยอมรับได้ในน้ำดื่มต้องมีปริมาณไม่เกิน 0.01 mg/L (USEPA, 2001)

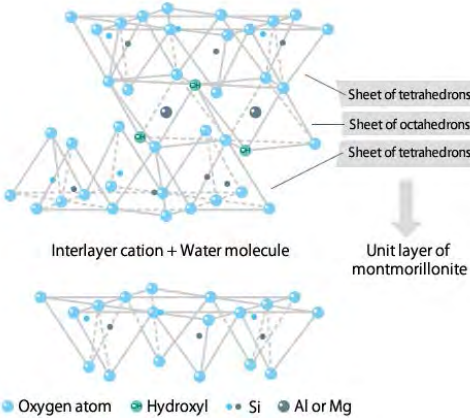
การเกิดปฏิกิริยาออกซิเดชันและรีดักชัน (Oxidation and reduction reaction) ของสารหนูขึ้นอยู่กับศักยภาพการเกิดปฏิกิริยาเรดอคซ์ (Redox potential) และค่าพีเอช ซึ่งในแหล่งน้ำธรรมชาติสารหนูมีสถานะออกซิเดชัน +3 และ +5 นั่นคือ Trivalent arsenite (As^{+3}) และ pentavalent arsenate (As^{+5}) ตามลำดับ การเกิดปฏิกิริยาออกซิเดชันมักพบสารหนูในรูปแบบของอาร์เซนेट (Arsenate) และการมีอยู่ของออกซิเจนนั้นขึ้นอยู่กับค่าความเป็นกรดด่าง โดยที่ค่าพีเอชต่ำกว่า 6.9 พบ $\text{H}_2\text{AsO}_4^{-}$ หากในขณะที่ค่าพีเอชสูงพบ HAsO_4^{2-} การเกิดปฏิกิริยาเรดอคซ์ที่ค่าความเป็นกรดต่ำกว่า 9.2 พบสารหนูในรูปแบบอาร์เซนิท (Arsenite) ที่เป็นกลาง นั่นคือ H_3AsO_3 สารหนูจึงสามารถเคลื่อนที่ได้ทั้งในสภาพที่เกิดปฏิกิริยาออกซิเดชันและรีดักชัน ดังนั้นค่าพีเอชจึงมีความสำคัญในการก่อตัวและการเกิดขึ้นของสารหนูรูปแบบต่างๆ ในแหล่งน้ำธรรมชาติ (Flora, 2015) โดยความเสถียรของอาร์เซนิทภายใต้สภาพค่า pH ต่างกันแสดงในรูปที่ 2.1



รูปที่ 2.1 รูปแบบของอาร์ซิเนตที่เสถียรภายใต้สภาวะค่าพีเอชที่แตกต่างกัน
(ที่มา <https://ascelibrary.org/doi/10.1061/%28ASCE%29EE.1943-7870.0000641>)

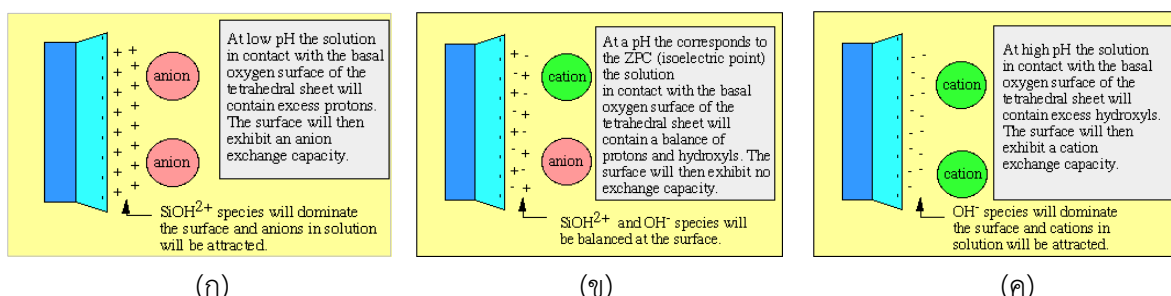
2.1.2 มองต์มอริลโลไนต์ (Montmorillonite)

มองต์มอริลโลไนต์เป็นแร่ดิน (Clay mineral) จัดอยู่ในกลุ่มสมектิต (Smectite Group) มีสูตรโครงสร้าง คือ $(\text{Na}, \text{Ca})_{0.33}(\text{Al}, \text{Mg})_2(\text{Si}_4\text{O}_{10})(\text{OH})_2 \cdot n\text{H}_2\text{O}$ โครงสร้างทางกายภาพของมองต์มอริลโลไนต์โดยทั่วไปมีลักษณะเป็นแผ่นที่เรียกว่าเป็นชั้นๆ (Phyllosilicate) แต่ละชั้น (Unit layer) ประกอบด้วยแผ่นโครงสร้างสองประเภทคือ แผ่นที่เกิดจากซิลิคอน (Si) และออกซิเจน (O) เรียกว่าเป็นปรามิดฐานสามเหลี่ยม (Tetrahedral sheet) และแผ่นที่มีการเรียงตัวเป็นทรงแปดหน้า (Octahedral sheet) จากอัลูมิเนียม (Al) และหมู่ไฮดรอกซิล (OH) ที่สร้างพันธะกับอะตอมของออกซิเจนในแผ่น Tetrahedral sheet โดย Octahedral sheet วางตัวอยู่ระหว่าง Tetrahedral sheet เรียกว่า T-O-T layer หลายชั้น (Unit layer) เชื่อมต่อกันด้วยไอออนบวก เรียกว่า Interlayer cation ด้วยแรงแวนเดอร์วัลส์ หรือแรงทางไฟฟ้า หรือพันธะไฮดรเจน ประจุที่เกิดขึ้นจากการเรียงตัวของธาตุใน Tetrahedral sheet และ Octahedral sheet ส่งผลต่อประจุโดยรวมของมองต์มอริลโลไนต์ ซึ่งมักมีการแทนที่ของธาตุในผลึกของแร่ด้วยธาตุอื่นโดยไม่ส่งผลกระทบต่อโครงสร้างทางเคมี (Isomorphous) ตัวอย่างเช่น Al^{3+} สามารถแทนที่ Si^{4+} ใน Tetrahedral sheet และแทนที่ Al^{3+} ใน Octahedral sheet ด้วย Mg^{2+} , Fe^{2+} , Fe^{3+} เป็นผลให้พื้นผิวของ Unit layer มีประจุไฟฟ้าไม่เพียงพอและเป็นประจุลบ เพื่อรักษาสมดุลประจุไฟฟ้าจึงมีไอออนบวก เช่น แคลเซียม โซเดียม หรือแมgnีเซียม ขึ้นอยู่กับสภาพดินฟ้าอากาศและสภาวะแวดล้อมในช่วงเวลาที่ก่อตัว มาเชื่อมต่อระหว่าง Unit layer เรียกว่า Interlayer cation ด้วยแรงแวนเดอร์วัลส์ หรือแรงทางไฟฟ้า หรือพันธะไฮดรเจน (Uddin, 2018) โครงสร้างทางกายภาพของมองต์มอริลโลไนต์ดังแสดงในรูป 2.2



รูปที่ 2.2 โครงสร้างทางกายภาพของมอนต์มอริลโลไซด์
(ที่มา <https://www.kunimine.co.jp/english/bent/basic.html>)

ศักยภาพของประจุไฟฟ้าที่ผิวของแร่ดินในน้ำลูกกำหันโดยค่าพีเอชและไอออนของสารละลายน้ำที่ทำปฏิกิริยา กับพื้นผิวแร่ การดูดซับprotoion และหมุนเวียนของชิลธรรมึงประจุบวกและประจุลบอื่นๆ ประจุที่ผิวน้ำเป็นศูนย์ (Point zero charge, PZC หรือ Isoelectric Point, IEP) คือ ประจุทั้งหมดจากประจุบวกและประจุลบที่ผิวมีค่าเท่ากับศูนย์ที่ค่าพีเอชค่าหนึ่ง (pH_{pzc}) แม่монтมอริลโลไซด์มีค่าประจุที่ผิวน้ำเป็นศูนย์ (pzc) ที่ค่าพีเอชอยู่ระหว่าง 5.0 ถึง 6.0 (Liu et al., 2008) โดยที่ pH_{pzc} อะตอมของออกซิเจนที่ Tetrathedral sheet จะมีไอออนบวกและไอออนลบมาเข้ามาร่วมต่อเท่ากัน จึงไม่แสดงความสามารถในการแลกเปลี่ยนไอออน (No exchange capacity) โดยที่ pH ต่ำกว่า pH_{pzc} อะตอมของออกซิเจนที่ Tetrathedral sheet จะมีไอออนบวกมาเข้ามาร่วมต่อ พื้นผิวของแร่ดินซึ่งเป็นประจุลบจะแสดงความสามารถในการแลกเปลี่ยนไอออนลบ (Anion exchange capacity) และที่ pH สูงกว่า pH_{pzc} อะตอมของออกซิเจนที่ Tetrathedral sheet จะมีไอออนลบมาเข้ามาร่วมต่อ จึงแสดงความสามารถในการแลกเปลี่ยนไอออนบวก (Cation exchange capacity) ดังรูปที่ 2.3



รูปที่ 2.3 ประจุไฟฟ้าที่ผิวของแร่ดิน; (ก) ที่ pH ของสารละลายน้ำต่ำกว่า pH_{pzc} , (ข) ที่ pH ของสารละลายน้ำเท่ากับ pH_{pzc} , (ค) ที่ pH ของสารละลายน้ำสูงกว่า pH_{pzc}
(ที่มา <http://clay.uga.edu/courses/8550/CM19.html>)

มอนต์มอริลโลไนต์จึงเป็นตัวดูดซับที่ดี โดยสามารถดูดซับโดยหนักผ่านสองกลไกที่แตกต่างกัน แบบแรกคือเกิดการดูดซับบนระนาบระหว่างชั้น (interlayer) ของแร่ร่องรอยต์โดยเมื่อสัมผัสกับสารอื่น ๆ ที่มีไอออนบางจะทำให้เกิดปฏิกิริยากับปั๊กอน (+) ที่อยู่ในระนาบระหว่างชั้น พร้อมกันนั้นก็ได้แลกเปลี่ยนกับไอออน (+) ของสารเคมีอื่น ๆ ทันที และในดูดซับแบบที่สองจะเกิดขึ้นที่ขอบของระนาบ ซึ่งจะผันแปรตามการก่อตัวที่ซับซ้อนผ่านกลุ่มชิลิกอนโนออกไซด์ ($\text{Si} - \text{O}$) และอะลูมิเนียมออกไซด์ ($\text{Al} - \text{O}$) โดยกลไกทั้งสองจะขึ้นอยู่กับค่าพีเอชในสภาพแวดล้อม ($\text{pH} < 4$) (Batchelor, 1998)

2.1.3 การดูดซับและการพาอาร์ซิเนตของมอนต์มอริลโลไนต์

Mohapatra และคณะ (2007) ได้ศึกษาถูกต้องการดูดซับอาร์ซิเนตของแร่เคโอลิตินิต (Kaolinite) มอนต์มอริลโลไนต์ (Montmorillonite) และอิลลิเต (Illite) จากบริเวณตะวันออกของประเทศไทยเดียวกับ Batch experiment โดยศึกษาผลของการเปลี่ยนแปลงความเข้มข้นเริ่มต้นของอาร์ซิเนต การเปลี่ยนแปลงค่าพีเอช ระยะเวลาในการสัมผัสนานของตัวถูกดูดซับและตัวดูดซับ และอุณหภูมิของการทำปฏิกิริยา พบว่าเมื่อใช้ตัวดูดซับ 40 mg/L และความเข้มข้นของอาร์ซิเนตเริ่มต้น 10 mg/L ที่พีเอชระหว่าง 2 ถึง 5 การดูดซับค่อนข้างคงที่ โดยแร่เคโอลิตินิต มอนต์มอริลโลไนต์ และอิลลิเต มีค่าการดูดซับเท่ากับ 78% 54% และ 47% ตามลำดับ และลดลงเป็น 40% 24% 18% เมื่อค่าพีเอชเท่ากับ 9 ดังนั้นแร่เคโอลิตินิตจึงสามารถดูดซับอาร์ซิเนตได้มากที่สุด รองลงมาเป็นมอนต์มอริลโลไนต์ และอิลลิเต ตามลำดับ สอดคล้องกับการศึกษาของ Mathialagan และ Viraraghawan (2002) ที่พบว่าอัตราการดูดซับของอิลลิเตที่มีพิษของแร่ในกลุ่มแร่ดิน (Clay mineral) เกิดปฏิกิริยา กับน้ำในสภาพที่เป็นกรด ทำให้เกิดประจุบวกที่พื้นผิว และสามารถดูดซับอาร์ซิเนตที่เป็นประจุลบได้ นอกจากนี้เมื่อเพิ่มความเข้มข้นเริ่มต้นของอาร์ซิเนตระหว่าง $1-10 \text{ mg/L}$ โดยใช้ตัวดูดซับ 40 mg/L ที่พีเอชเท่ากับ 5 ระยะเวลาในการสัมผัสนานของตัวถูกดูดซับและตัวดูดซับเท่ากับ 3 ชั่วโมง พบว่าเมื่อปริมาณตัวดูดซับคงที่ ร้อยละของอาร์ซิเนตที่ถูกดูดซับลดลงเมื่อความเข้มข้นเริ่มต้นของอาร์ซิเนตเพิ่มขึ้น เนื่องจากบริเวณที่เกิดการดูดซับ (Active adsorption site) ไม่เพียงพอต่อปริมาณอาร์ซิเนตเริ่มต้นที่เพิ่มขึ้น และเมื่อพิจารณาค่า R^2 พบว่า Langmuir isotherm สามารถอธิบายการดูดซับของอาร์ซิเนตได้ดีกว่า Freundlich isotherm และถึงการดูดซับแบบชั้นเดียว (Monolayer) ด้วยพื้นที่ที่แข็งแรง

Chotpantarat and Amasvata (2020) ได้ศึกษาผลของค่าพีเอชต่อการเคลื่อนที่ของอาร์ซิเนตผ่าน colloids อิ่มตัวที่บรรจุวัสดุที่แตกต่างกัน นั่นคือ รายที่ถูกเคลือบด้วยเหล็กออกไซด์ (Iron oxide-coated sand) และรายที่ถูกเคลือบด้วยเหล็กภาวะเลนซ์ศูนย์ (Zero-valent iron oxide-coated sand) ที่ค่าพีเอชเท่ากับ 4 และ 7 โดยสารละลายน้ำของอาร์ซิเนตความเข้มข้นเริ่มต้น 10 ppm ไหลผ่าน colloids รายอิ่มตัวด้วยความเร็วคงที่ 2.3 เมตรต่อวัน พบว่า ที่พีเอช 4 กราฟ Breakthrough curves มีค่า C/C_0 เท่ากับ 1 ที่ Pore volume ที่ 31 ในขณะเดียวกันที่พีเอช 7 กราฟ Breakthrough curves มีค่า C/C_0 เท่ากับ 1 ที่ Pore volume ที่ 11 ซึ่งมีค่า Retardation factor เท่ากับ 10.17 และลดลงเหลือ 6.03 เมื่อพีเอชเพิ่มขึ้นจากพีเอช 4 เป็นพีเอช 7 เช่นเดียวกันค่า Removal capacity ของอาร์ซิเนตระหว่างที่เคลื่อนที่ผ่าน colloids รายอิ่มตัวเท่ากับ $0.000.0027$ และ 0.0022 ที่พีเอช 4 และพีเอช 7 ตามลำดับ เนื่องจากรายที่บรรจุวัสดุใน colloids มีค่า

pH_{pzc} เท่ากับ 5 ดังนั้นที่พีเอช 4 ประจุบันพื้นผิวของทรายเป็นบวกจึงคุดซับอาร์ซิเนตไว้ได้ แต่ที่พีเอช 7 พื้นผิวของทรายเป็นลบจึงผลักให้อาร์ซิเนตเคลื่อนที่ออกจากคลอลัมน์ได้เร็วกว่าตั้งแสดงในค่า Retardation factor และจากการใช้โปรแกรม Hydus-1D model พบร้า แบบจำลอง Equilibrium model สอดคล้องกับพฤติกรรมการเคลื่อนที่ของอาร์ซิเนตในคลอลัมน์ทรายอิมตัวมากกว่าแบบจำลอง The two-site model โดยมีค่า R^2 เท่ากับ 0.9763 และ 0.9913 ที่พีเอช 4 และพีเอช 7 ตามลำดับ

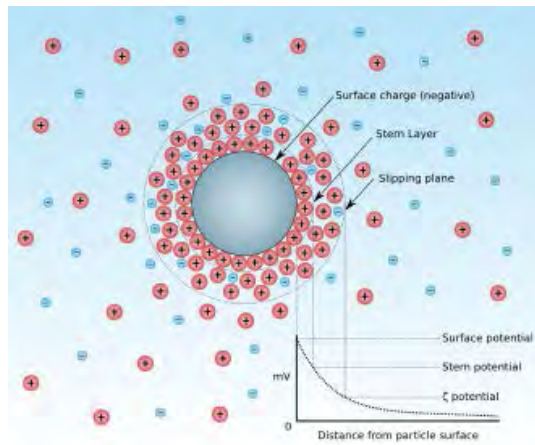
Ren และคณะ (2014) ได้ศึกษาการคุดซับอาร์ซิเนตและอาร์ซิไนซ์บนมอนต์มอริลโลไลน์ที่มีการดัดแปลงโดยการเติม Fe-polycations solution (Fe-M) และ Cetyltrimethylammonium bromide (CTMAB) โดยวิธีแบบแบบทช (Batch experiment) พบร้า โดยที่ไปมอนต์มอริลโลไลน์มีค่าระยะห่างระหว่างรูนาบเพล็ก (D-specing) เท่ากับ 1.52 nm และเพิ่มขึ้นเมื่อเติม CTMAB เข้าไปแสดงถึงการเข้าไปอยู่ใน Inter layer ของมอนต์มอริลโลไลน์ แต่เมื่อเติม Fe-M ระยะห่างระหว่างรูนาบเพล็กขึ้นเพียงเล็กน้อย ดังนั้น Fe-M ไม่ได้อยู่ใน Inter layer และอยู่ต่ำกว่ารูนาบเพล็กที่เพิ่มขึ้นเพียงเล็กน้อย ดังนั้น Fe-M มากกว่าอลูมิเนียม (Al) แคลเซียม (Ca) และเหล็ก (Fe) โดยจะติดแน่นกับมอนต์มอริลโลไลน์ จากการวิเคราะห์องค์ประกอบของพื้นผิวด้วย X-ray photoelectron spectroscopy พบร้า มีออกซิเจน (O) และซิลิคอน (Si) มากกว่าอลูมิเนียม (Al) แคลเซียม (Ca) และเหล็ก (Fe) โดยจะติดแน่นกับมอนต์มอริลโลไลน์ ซึ่งมอนต์มอริลโลไลน์ที่ถูกดัดแปลงจะมีความสามารถในการคุดซับอาร์ซิโนิกได้ดีกว่ามอนต์มอริลโลไลน์ที่ที่ไม่ได้ดัดแปลง จากการทดลองค่าพีเอชที่เกิดขึ้นจะแปรผันกับปฏิกิริยาที่เกิดขึ้นในการทดลอง

2.1.4 การเคลื่อนที่ของอนุภาคคลอลอยด์

อนุภาคคลอloyด์พบได้ทั่วไปในชั้นใต้ผิวดิน (Sen et al., 2004) และความเข้มข้นตามธรรมชาติของอนุภาคคลอloyด์ในน้ำได้ดินมีค่า 10^8 ถึง 10^{17} อนุภาคต่อลิตร (Kim, 1991) อนุภาคคลอloyด์มีเส้นผ่าศูนย์กลางประมาณ 10 นาโนเมตร ถึง 10 ไมโครเมตร (DeNovio et al., 2004) นอกจากนี้คลอloyด์ตามธรรมชาติยังรวมไปถึงเศษดิน หิน แร่ และเศษสารประกอบอินทรีย์อื่น ๆ ที่มีขนาดตั้งแต่ล่วงไป ตามถึงสามารถศึกษาแยกตัวแปรในระบบที่เรานำมาได้ เช่น กัน (Ryan and Elimelech 1996) ซึ่งตัวกลางที่นิยมใช้ในการทดลอง เช่น รายการอัตช์ แต่มีข้อเสียหลักคือในระบบแบบจำลองเหล่านี้อาจไม่ได้มีความซับซ้อนเท่าระบบจริงในธรรมชาติ

ประจุที่พื้นผิวของแข็งที่ล้อมรอบด้วยไอออน จะประกอบด้วย 2 ส่วน คือ ชั้น Stern layer เป็นชั้นของประจุที่มีประจุตรงข้ามกับอนุภาค โดยจะจับกับอนุภาคด้วยแรงผลักทางไฟฟ้าที่แข็งแรง ประจุในชั้นนี้จะเคลื่อนที่ไปกับอนุภาคโดยไม่มีการเคลื่อนไหวของประจุกับตัวกลาง (ศรัณย์ ตันตระราวงศ์ และรัชชัย แพชนัด, 2556) และชั้นนอก ค่าศักย์ซีตา (Zeta potential) คือค่าของประจุที่พื้นผิวของแข็งที่ล้อมรอบด้วยไอออนในสารละลาย โดยวัดค่าความต่างศักย์ที่ชั้นนอกสุดของไอออนที่ล้อมรอบของแข็งและตัวกลางที่เป็นของเหลว ดังรูปที่ 2.4 และสามารถแบ่งศักย์ซีตาออกเป็น 2 ช่วงคือ ช่วงศักย์ซีตาเป็นบวก เมื่อพีเอชต่ำกว่าค่า Isoelectric Point: IEP (จุดที่มีค่า Zeta potential เท่ากับศูนย์) และช่วงที่มีค่าศักย์ซีตาเป็นลบ

เมื่อพีเอชมีค่ามากกว่าค่า IEP ซึ่งค่าศักย์ชีต้าและค่า IEP จะแปรผันตามชนิดของของแข็ง ชนิดของสารละลาย และพีเอชที่เปลี่ยนไป (ธนิศร์ มีบุปผา และจตุพล โวภาไพบูลย์, 2555) ซึ่งค่าของศักย์ภาพชีต้าเป็นตัวบ่งชี้ถึงความเสถียรที่อาจเกิดขึ้นของ colloidal ถ้าอนุภาค colloidal มีค่าศักย์ชีต้าเป็นลบหรือบวกมากจะมีแนวโน้มที่จะผลักซึ่งกันและกัน และจะไม่มีแนวโน้มที่อนุภาคจะมารวมตัวกัน อย่างไรก็ตามหากอนุภาคมีค่าศักย์เชต้าต่ำ จะทำให้อนุภาคที่มารวมตัวกันและตกตะกอน ไม่สามารถเคลื่อนที่ได้ สามารถแบ่งระหว่างสารแขวนลอยที่เสถียรและไม่เสถียรที่ค่าศักย์ชีต้าเท่ากับ +30 หรือ -30 mV โดยอนุภาคที่มีศักย์เชต้าบวกมากกว่า +30 mV หรือมากกว่าลบ -30 mV ถือว่าเสถียร



รูปที่ 2.4 ค่าศักย์ชีต้า (Zeta potential) ของพื้นผิวของแข็งที่ล้อมรอบด้วยไอออนในสารละลาย
(ที่มา https://en.wikipedia.org/wiki/Point_of_zero_charge)

นอกจากนี้ยังมีงานวิจัยจำนวนมากที่ศึกษาเกี่ยวกับปัจจัยที่มีผลกระทบต่อการเคลื่อนที่ของอนุภาค colloidal ที่เป็นสารอินทรีย์และสารอนินทรีย์ เช่น ค่าพีเอช (Ryan and Elimelech, 1996; Grolimund et al., 1998) ค่าความแรงไอออน (Ionic strength) (Ryan and Elimelech, 1996; Grolimund et al., 1998; Walshe et al., 2010) เป็นต้น

Patil (2008) ได้ศึกษาผลกระทบของค่าพีเอชและความแรงไอออนต่อการเคลื่อนที่ของอนุภาค colloidal ผ่านตัวกลางที่มีรูพรุน การทดลองดำเนินการภายใต้เงื่อนไขของค่าพีเอชและค่าความแรงไอออนที่แตกต่างกันโดยมีอัตราการไหลของน้ำคงที่ในตัวกลางที่เป็นทรายควอตซ์ ผลการวิจัยพบว่าเมื่อเพิ่มค่าพีเอชจะทำให้มีการสะสมของ colloidal ในคลอลัมเนลลดลง เนื่องจากค่าพีเอชมีผลกระทบอย่างมากต่อค่าประจุไฟฟ้านบนพื้นผิวของอนุภาค colloidal ดังนั้นค่าสัมประสิทธิ์การสะสมจึงลดลงเมื่อมีสภาพความเป็นกรดลดลง

Knappenberger และคณะ (2015) ได้ศึกษาการเคลื่อนที่ของ colloidal ที่มีรูปร่างทรงกระบอกและทรงกลมในตัวกลางที่มีรูพรุนที่ไม่อิ่ม (Unsaturated) ตัวภายในตัวภายนอกที่คงตัว พบว่า ความเข้มข้นของ colloidal ที่ออกมากจากคลอลัมเนลรายที่อิ่มตัวด้วยน้ำ (Saturated) มากกว่าคลอลัมเนลรายที่ไม่อิ่มตัวด้วยน้ำ (Unsaturated) เนื่องจากการมีปริมาณน้ำน้อยจะเพิ่มอัตราในการสะสมตัวของ colloidal มีผลยับยั้งการ

เคลื่อนที่ของคอลลอยด์ โดย Roth และคณะ (2015) พบว่าอนุภาคคอลลอยด์จะมีขนาดใหญ่ขึ้นจากการรวมตัว (Aggregation) นำไปสู่การตกสะสมตัวและการลดลงของความพรุนในตัวกลาง

2.1.5 การดูดซับของอนุภาคคอลลอยด์

อนุภาคคอลลอยด์สามารถดูดซับสารบินเปื้อน ทำให้สารบินเปื้อนไปได้มากขึ้นหรืออาจชะลอการปนเปื้อนได้จากการเหล่านี้ขึ้นอยู่กับชนิดของอนุภาคคอลลอยด์หรืออัตราการไหลของน้ำ ซึ่ง Ryan และ Elimelech (1996) พบว่าหลักเกณฑ์สำคัญในการเคลื่อนที่และดูดซับของอนุภาคคอลลอยด์จะต้องมีความเสถียรและต้องมีอนุภาคคอลลอยด์ในปริมาณที่เพียงพอต่อการดูดซับโลหะหนักจำนวนมาก

Tang และ Weisbrod (2009) ได้ศึกษาเกี่ยวกับผลของอนุภาคคอลลอยด์ต่อการเคลื่อนที่ของตะกั่ว (Pb) ในรอยแตกของหินโดยใช้เร่มอนต์莫ริลโลไมต์และกรดอะมิค (Humic acid ผลการวิจัยพบว่าตะกั่วมีการเคลื่อนที่สัมพันธ์กับอนุภาคคอลลอยด์ ทั้งนี้การเพิ่มขึ้นของค่าพีเอชและอัตราส่วนการดูดซับโซเดียมมีแนวโน้มที่จะเพิ่มขึ้นตามการเคลื่อนที่และการกระจายตัวของอนุภาคคอลลอยด์ผ่านรอยแตกในเนื้อหินเหล่านั้น

Lee และคณะ (2018) ได้ศึกษาการเคลื่อนที่ของคอลลอยด์และโลหะหนักในตัวอย่างดินจาก Duckum ในເກາະໄຕ โดยกำหนดให้สารละลายที่เตรียมจากตัวอย่างดินมีอัตราการไหลที่แตกต่างกันในคอลัมน์ทราย และใช้สารละลายโซเดียมคลอไรด์เพื่อศึกษาผลความแรงไอออน (Ionic strength) ต่อการเคลื่อนที่ของคอลลอยด์ พบร้า ความเข้มข้นของคอลลอยด์เพิ่มขึ้นเมื่ออัตราการไหลต่ำ และความเข้มข้นของคอลลอยด์เมื่อไม่มีผลของความแรงไอออนมีค่าสูงกว่าความเข้มข้นของคอลลอยด์ที่มีค่าความแรงไอออน เข้ามาเกี่ยวข้อง โดยที่พีเอช 9.2 ความเข้มข้นของคอลลอยด์สูงกว่าที่พีเอช 7.3 เมื่อไม่มีผลของความแรงไอออน (Ionic strength) และเมื่อพิจารณาความเข้มข้นของโลหะหนักพบว่า ความเข้มข้นของอาร์ซินิก (As) โครเมียม (Cr) และตะกั่ว (Pb) เพิ่มขึ้นเมื่อความเข้มข้นของคอลลอยด์เพิ่มขึ้น ในขณะที่ความเข้มข้นของแคดเมียม (Cd) เหล็ก (Fe) อลูมิเนียม (Al) ทองแดง (Cu) โคบล็อต (Co) และนิกเกิล (Ni) ไม่เพิ่มขึ้นเมื่อความเข้มข้นของคอลลอยด์เพิ่มมากขึ้น แสดงให้เห็นถึงคุณสมบัติของโลหะหนักมีผลต่อการเร่งหรือยับยั้งการเคลื่อนที่ของคอลลอยด์

2.2 ทฤษฎี

2.2.1 ค่า Retardation factor

ค่า Retardation factor คือ ค่าอัตราส่วนระหว่างความเร็วของสารบินเปื้อนต่อความเร็วของน้ำ สามารถบอกความเร็วการเคลื่อนที่ของการปนเปื้อนจากโลหะได้ว่าเคลื่อนที่ช้ากว่าน้ำกี่เท่า โดยหาได้จากพื้นที่ใต้กราฟของข้อมูลจากการศึกษาไอออนของโลหะหนัก โดยการประมาณพื้นที่เหนือกราฟขึ้นของกราฟ Breakthrough จากจุดเริ่มต้นไปถึงจุดที่มีความเข้มข้นสัมพัทธ์ (C/C_0) เท่ากับ 1.0 (Nkedi-Kizza et al., 1987) ซึ่งสามารถคำนวณค่า Retardation factor ได้จากสมการ :

$$R_{area} = PV_1 - \sum_{i=0}^{PV_1} \left(\frac{c_i}{c_0} \right) \Delta PV$$

สมการ 1 Retardation factor

โดยที่ C_i (mg / L) คือความเข้มข้นของโลหะหนักที่เหลือกอนที่เวลา i
 C_0 (mg / L) คือความเข้มข้นเริ่มต้นของโลหะหนัก
 PV_1 คือจำนวนของปริมาตรรูพรุน (Pore volume) ที่ความเข้มข้นสัมพัทธ์ (C_i/C_0) เท่ากับ 1.0

2.2.2 Hydus-1D Program

แบบจำลอง Hydus-1D สามารถใช้ในการจำลองการไหลของน้ำและการเคลื่อนที่ของโลหะหนักในตัวกลางมีรูพรุนที่อิ่มตัว (Simunek, J. & van Genuchten, 2008) แบบจำลองนี้สามารถนำไปใช้กับการไหลในสภาวะที่มีสมดุลทางเคมีและไม่สมดุลทางเคมี ทั้งแบบจำลองทางตรง (Direct model) และแบบจำลองผกผัน (Inverse Model)

The two-site model เป็นแบบจำลองเพื่อใช้ในการอธิบายการไหลในสภาวะไม่สมดุลทางเคมี โดยสันนิษฐานว่าแบ่งการดูดซับเป็นสองส่วน คือ การดูดซับแบบสมดุล (Instantaneous sorption) และการดูดซับแบบไม่สมดุล (Kinetic sorption) (Chotpantarat and Amasvata, 2020) สามารถอธิบายด้วยสมการที่ 2 ดังนี้:

$$\frac{\partial C}{\partial t} + \rho \frac{\partial s^e}{\partial t} + \rho \frac{\partial s^k}{\partial t} = \frac{\partial}{\partial x} \left(\theta D_L \frac{\partial C}{\partial x} \right) - \frac{\partial v_x C}{\partial x} \pm \left[\frac{\partial C}{\partial t} \right]_{rxn} \quad 2a$$

$$s^e = f K_f C^{1/n}, \quad 2b$$

$$\rho \frac{\partial s^k}{\partial t} = \alpha_k \rho (s_e^k - s^k) - \varphi_k, \quad 2c$$

$$s^k = (1-f) K_f C^{1/n} \quad 2d$$

สมการ 2 Chemical non-equilibrium process

โดยที่ S^e คือ ความเข้มข้นของอาร์ซิเนตที่ถูกดูดซับในบริเวณ Instantaneous sites (mg/g soil)
 S^k คือ ความเข้มข้นของอาร์ซิเนตที่ถูกดูดซับในบริเวณ Kinetic sites (mg/g soil)
 f คือ ส่วนของบริเวณที่มีการแลกเปลี่ยนในสภาวะสมดุล
 α_k คือ สัมประสิทธิ์การดูดซับขั้นแรกของการเคลื่อนตัวของสารละลายในคลัมบ์ (1/day)
 φ_k คือ Sink-source บริเวณที่มีการดูดซับ (Kinetic sorption sites) (mg/(L day))

C คือ ความเข้มข้นของอาร์ซิเนต (mg/l)

K_d คือ สัมประสิทธิ์การดูดซับ สามารถแทนที่ด้วย Freundlich และ Langmuir parameters (L/M)

แบบจำลอง Linear/nonlinear equilibrium convection-dispersion (CD_{eq}) ใช้ในการอธิบายการให้ผลในสภาวะสมดุล ดังแสดงในสมการที่ 3 ดังนี้:

$$\frac{\partial C}{\partial t} = D_L \frac{\partial^2 C}{\partial x^2} - v_x \frac{\partial C}{\partial x} - \frac{\rho}{\theta} \frac{\partial C^*}{\partial t} \pm \left[\frac{\partial C}{\partial t} \right]_{rxn}$$

สมการ 3 Linear/nonlinear equilibrium convection-dispersion(CD_{eq})

โดยที่ C (mg/l) คือ ความเข้มข้นของอาร์ซิเนตในรูป/run (Pore water)

D_L (cm²/day) คือ สัมประสิทธิ์การกระจายตัว

v_x (cm/day) คือ ความเร็วการให้ผลเฉลี่ย

t (day) คือ เวลา

θ คือ ความพรุน

ρ (g/cm³) คือ ความหนาแน่นรวม (Bulk density) ของทราย

C^* (mg/l) คือ ความเข้มข้นของอาร์ซิเนตในทราย

บทที่ 3

ระเบียบวิธีวิจัย

3.1 วัสดุและสารที่ใช้ในการทดลอง

1. มองต์มอริลโลไมต์ (Montmorillonite K10)

มองต์มอริลโลไมต์ (Montmorillonite K10) มีค่าความสามารถในการแลกเปลี่ยนประจุบวก (CEC) ประมาณ 30 มิลลิโอมิลิโควาเลนท์/100 กรัม และพื้นที่ผิวคือ 250 ลูบาราศก์เมตร/กรัม

2. เม็ดทราย (Ottawa sand)

เม็ดทราย (Ottawa sand) มีขนาดเส้นผ่านศูนย์กลาง 0.6 มม. ถึง 0.8 มม. โดยทรายควรต์ทั่วไปมีค่าความพรุนยังผล (effective porosity) 0.32 และความหนาแน่น 1.43 กรัม / ซม.³

3. สารละลายอาร์ซิเนต

เตรียมสารละลายอาร์ซิเนตความเข้มข้น 1000 ppm จาก Di-Sodium hydrogen arsenate heptahydrate ($\text{Na}_2\text{HAsO}_4 \cdot 7\text{H}_2\text{O}$) ในแคลเซียมคลอไรด์ความเข้มข้น 0.001 M

3.2 ขั้นตอนการดำเนินงานวิจัย

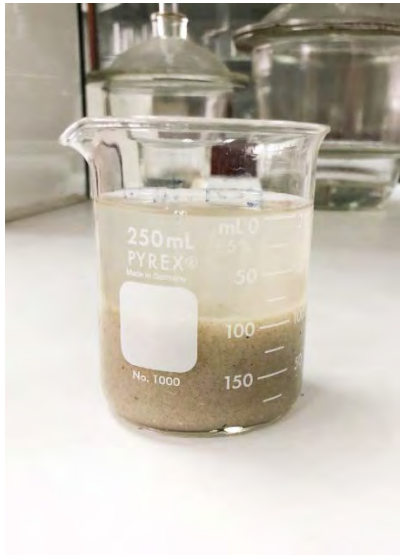
1. ศึกษาข้อมูลพื้นฐานและวิธีการศึกษาเบื้องต้น

ศึกษางานวิจัยที่เกี่ยวข้อง เช่น ผลกระทบของอนุภาคคลอลอยด์ต่อการเคลื่อนตัวของสาร การเคลื่อนที่ของอาร์ซิเนตในคลัมมน์ทรายอิ่มตัว รายงานการปนเปื้อนโลหะหนักในประเทศไทย และขั้นตอนการทดลองในคลัมมน์ทรายอิ่มตัวตามวิธีการศึกษาของ Chotpantarat และ Kiatvarangkul (2018)

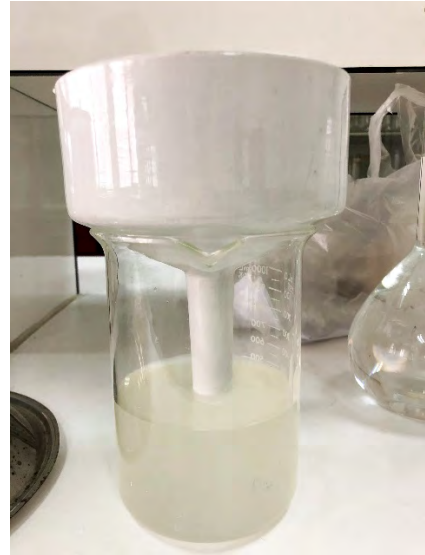
2. ออกแบบการทดลองและเตรียมสารที่ใช้ในการทดลอง

2.1 การเตรียมทรายเพื่อบรรจุในคลัมมน์

- 1) นำจัดโลหะออกไซด์และอนุภาคอื่นๆ บนผิวทราย (Ottawa sand) โดยล้างทรายด้วยสารละลาย NaOH ความเข้มข้น 0.01 M เป็นเวลา 30 นาที ในเครื่องอัลตราโซนิก แล้วล้างด้วยน้ำปราศจากไอออน (deionized water)
- 2) ล้างด้วยสารละลาย HNO_3 ความเข้มข้น 0.01 M เป็นเวลา 30 นาที ในเครื่องอัลตราโซนิก แล้วล้างด้วยน้ำปราศจากไอออน (deionized water)
- 3) อบแห้งในเตาอบมีร้อนที่อุณหภูมิ 105 องศาเซลเซียส เป็นเวลา 24 ชั่วโมง
- 4) เก็บไว้ในภาชนะที่มีสารดูดความชื้น



รูปที่ 3.1 ทรัพย์ที่ผ่านการล้างด้วย NaOH และ HNO₃ ในเครื่องอัลตราโซนิก



รูปที่ 3.2 ขั้นตอนการกรองเพื่อกำจัดโลหะออกไซด์และอนุภาคอื่นๆ บนพิภาราย

2.2 การเตรียมสารแขวนลอยมอนต์มอริลโลไนต์

- 1) ล้างมอนต์มอริลโลไนต์ (Montmorillonite K10) 20 กรัม ด้วยน้ำปราศจากไอโอดิน 200 มิลลิลิตร แล้วตั้งทิ้งไว้เป็นเวลา 24 ชั่วโมง
- 2) นำสารแขวนลอยด้านบนซึ่งมีปริมาตรเป็นครึ่งหนึ่งของห้องหมดไปอบแห้งที่อุณหภูมิ 105 °C เป็นเวลา 24 ชั่วโมง
- 3) เติมแคลเซียมคลอไรด์ความเข้มข้น 1 M โดยใช้อัตราส่วนมอนต์มอริลโลไนต์ 1 กรัม ต่อแคลเซียมคลอไรด์ 20 มิลลิลิตร แล้วเขย่าโดยใช้เครื่องอัลตราโซนิกเป็นเวลา 1 ชั่วโมง
- 4) แยกมอนต์มอริลโลไนต์ออกจากตัวอย่างโดยวิธีการละลายใส่ออกจากการกอน (Decantation)
- 5) ล้างมอริลโลไนต์ด้วยน้ำปราศจากไอโอดิน (Deionized water) โดยใช้กระดาษกรองขนาด 0.45 ไมโครเมตร จนไม่มีคลอไรด์ไอโอดิน (ค่า EC เท่ากับศูนย์) แล้วอบแห้งที่อุณหภูมิ 105 °C เป็นเวลา 24 ชั่วโมง
- 6) วิเคราะห์ขนาดของมอนต์มอริลโลไนต์คลอลอยด์ที่ได้จากการเตรียม โดยใช้เครื่อง Malvern Zetasizer Nano ที่คณะเภสัชศาสตร์ จุฬาลงกรณ์มหาวิทยาลัย



รูปที่ 3.3 สาระลายมอนต์มอริลโลในต์



รูปที่ 3.4 การแยกชั้นของมอนเตอร์มอริลโลในต่อคอลล้อยด์ เมื่อเติมแคลเซียมคลอไรด์ความเข้มข้น 1 M

2.3 การเตรียมมอนต์มอริลโลในต่อ kolloyd และ อาร์ซีเนต

- 1) เตรียมสารละลายนาร์ซีเนตความเข้มข้น 1000 ppm จาก Di-Sodium hydrogen arsenate heptahydrate ($\text{Na}_2\text{HAsO}_4 \cdot 7\text{H}_2\text{O}$) ในแคปซิลคลอไรด์ความเข้มข้น 0.001 M
 - 2) ใส่เม็ดมอริลโลในต่อ kolloyd 400 มิลลิลิตร (ความเข้มข้น 125 มิลลิกรัม/ลิตร) ลงในขวดปริมาตร 500 มิลลิลิตร เลี้ยวขวาในเครื่องอัลตราโซนิกเป็นเวลา 30 นาที
 - 3) เติมสารละลายนาร์ซีเนตที่เตรียมจาก 1) ปริมาณ 5 มิลลิลิตร ลงในเม็ดมอริลโลในต่อ kolloyd
 - 4) ปรับ pH ของสารละลายมอนต์มอนต์มอริลโลในต่อ kolloyd และnar์ซีเนต ให้มี pH เท่ากับ 4, 7 และ 10 โดยการเติม NaOH ความเข้มข้น 1 M และ HNO_3 ความเข้มข้น 1 M
 - 5) จะได้สารละลายมอนต์มอนต์มอริลโลในต่อ kolloyd และnar์ซีเนต 500 มิลลิลิตร โดยมีมอนต์มอริลโลในต่อ kolloyd และnar์ซีเนตความเข้มข้น 100 และ 10 ppm ตามลำดับ

2.4 การเตรียมชุดการทดลองคอลัมน์

- 1) ล้างคอลัมน์อะคริลิก ที่มีเส้นผ่าศูนย์กลางด้านใน 2.5 ซม. และยาว 10 ซม. ด้วย NaOH ความเข้มข้น 0.01 M และ HNO₃ ความเข้มข้น 0.01 M ตามลำดับ
 - 2) ติดตั้งชุดการทดลองคอลัมน์ โดยใช้ท่อเทปล่อนเชื่อมต่อสารละลายมอนต์มอริลโลในต์และ อาร์ซิเนตเข้ากับปั๊ม และเชื่อมต่อปั๊มเข้ากับส่วนล่างของคอลัมน์ เพื่อสูบสารละลายเข้าสู่คอลัมน์ จากทางด้านล่างของคอลัมน์ จากนั้นต่อท่อเทปล่อนจากส่วนบนของคอลัมน์กับเครื่อง Fraction collector เพื่อเก็บตัวอย่างสารละลายที่หลอกจากคอลัมน์ ดังรูปที่ 3.5 และ 3.6

- 3) บรรจุทราย (Ottawa sand) ในคอลัมน์ โดยวิธี Wet packing method นั่นคือ ค่อยๆใส่ทรายลงในคอลัมน์ หยดน้ำลงไปเพื่อแทนที่อากาศที่อยู่ในช่องว่างเม็ดทรายด้วยน้ำ ปริมาณน้ำที่ใช้ในการบรรจุทราย 1 คอลัมน์มีค่าเท่ากับ 1 Pore volume (PV) คอลัมน์ที่บรรจุทรายเรียบ排อยแล้ว จะมีค่า 1 Pore volume (PVs) ประมาณ 15.3-16.5 ซม³



รูปที่ 3.5 แผนภาพแสดงชุดการทดลอง
(ที่มา: Wikiniyadhanee, 2016)

รูปที่ 3.6 ชุดการทดลองคอลัมน์ทรายอิ่มตัว

3. ทำการทดลองและวิเคราะห์ผลการทดลอง

3.1 วิธีการศึกษาผลของค่า pH ต่อการเคลื่อนที่ของอาร์ซิเนตและมอนต์มอริลโลไนต์คอลลอยด์ในคอลัมน์ทรายอิ่มตัว

- ก่อนทำการทดลองต้องทำการปรับเทียบความเร็วการไหลของน้ำด้วยน้ำประปาจากไออกอน โดยตั้งค่าให้ปั๊มสูบน้ำเข้าสู่คอลัมน์ด้วยความเร็วคงที่ 0.16 เซนติเมตร/นาที จากนั้นให้ปั๊มสูบสารละลายแคลเซียมคลอไรด์ความเข้มข้น 0.001 M ที่มี pH เท่ากับ 4 เข้าสู่คอลัมน์ เก็บตัวอย่างจนกว่าสารละลายแคลเซียมคลอไรด์ที่ออกมากจากคอลัมน์จะมี pH เท่ากับ pH ของสารละลายที่ใส่进来ในคอลัมน์โดยใช้เครื่อง Fraction Collector เพื่อให้การไหลอยู่ในสภาพวงจรที่และปรับสภาพทางเคมีภายในคอลัมน์
- สารละลายนอนต์มอริลโลไนต์คอลลอยด์ที่ประกอบด้วยอาร์ซิเนต โดยมี pH เท่ากับ 4 จะถูกคนด้วยเครื่อง Stirrer และปั๊มจะสูบสารละลายเข้าไปในคอลัมน์ทรายอิ่มตัว เก็บตัวอย่างสารละลายที่ไหลผ่านคอลัมน์ทุกๆครึ่งชั่วโมงจนครบ 20 Pore volume

- 3) เปลี่ยนให้สารละลายแคลเซียมคลอไรด์ความเข้มข้น 0.001 M ที่มี pH เท่ากับ 4 ให้เข้าสู่ คอลัมน์ทรายอิ่มตัวอีกครั้ง แล้วเก็บตัวอย่างสารละลายที่ไหลผ่านคอลัมน์ต่อจักรบทั้งหมด 30 Pore volume และใช้ตัวแทนของแต่ละ Pore volume ไปวิเคราะห์ผลการทดลอง
- 4) ทำการทดลองตามข้อ 1, 2, และ 3 โดยเปลี่ยนเป็นสารละลายแคลเซียมคลอไรด์ และสารละลาย มอนต์มอริลโลไนต์คอลลอยด์ที่ประกอบด้วยอาร์ซิเนตที่มี pH เท่ากับ 7 และ 10 ตามลำดับ

3.2 การวิเคราะห์ความเข้มข้นของอาร์ซิเนตที่ผ่านคอลัมน์ทรายอิ่มตัว

การวิเคราะห์ความเข้มข้นของอาร์ซิเนตจะถูกแบ่งเป็น 2 ส่วน คือ การวิเคราะห์ความเข้มข้นของ อาร์ซิเนตในสารละลาย และความเข้มข้นของอาร์ซิเนตทั้งหมด ซึ่งอาร์ซิเนตทั้งหมดคืออาร์ซิเนตใน สารละลายรวมกับอาร์ซิเนตบนผิวของมอนต์มอริลโลไนต์คอลลอยด์

3.3.1) การวิเคราะห์ความเข้มข้นของอาร์ซิเนตในสารละลาย

- 1) ปริมาณครั้งหนึ่งของ 1 pore volume จะถูกปั่นแยกที่ 5000 rpm เป็นเวลา 20 นาที
- 2) กรองผ่าน Syringe filter ขนาด 0.22 ไมโครเมตร อาร์ซิเนตที่อยู่ในสารละลายจะผ่าน กระดาษกรอง
- 3) วิเคราะห์ความเข้มข้นอาร์ซิเนตในสารละลายโดยใช้ Atomic absorption spectroscopy ที่ โรงเรียนมหาวิทยาลัยสรณ์

3.3.2) การวิเคราะห์ความเข้มข้นรวมของอาร์ซิเนตทั้งหมด

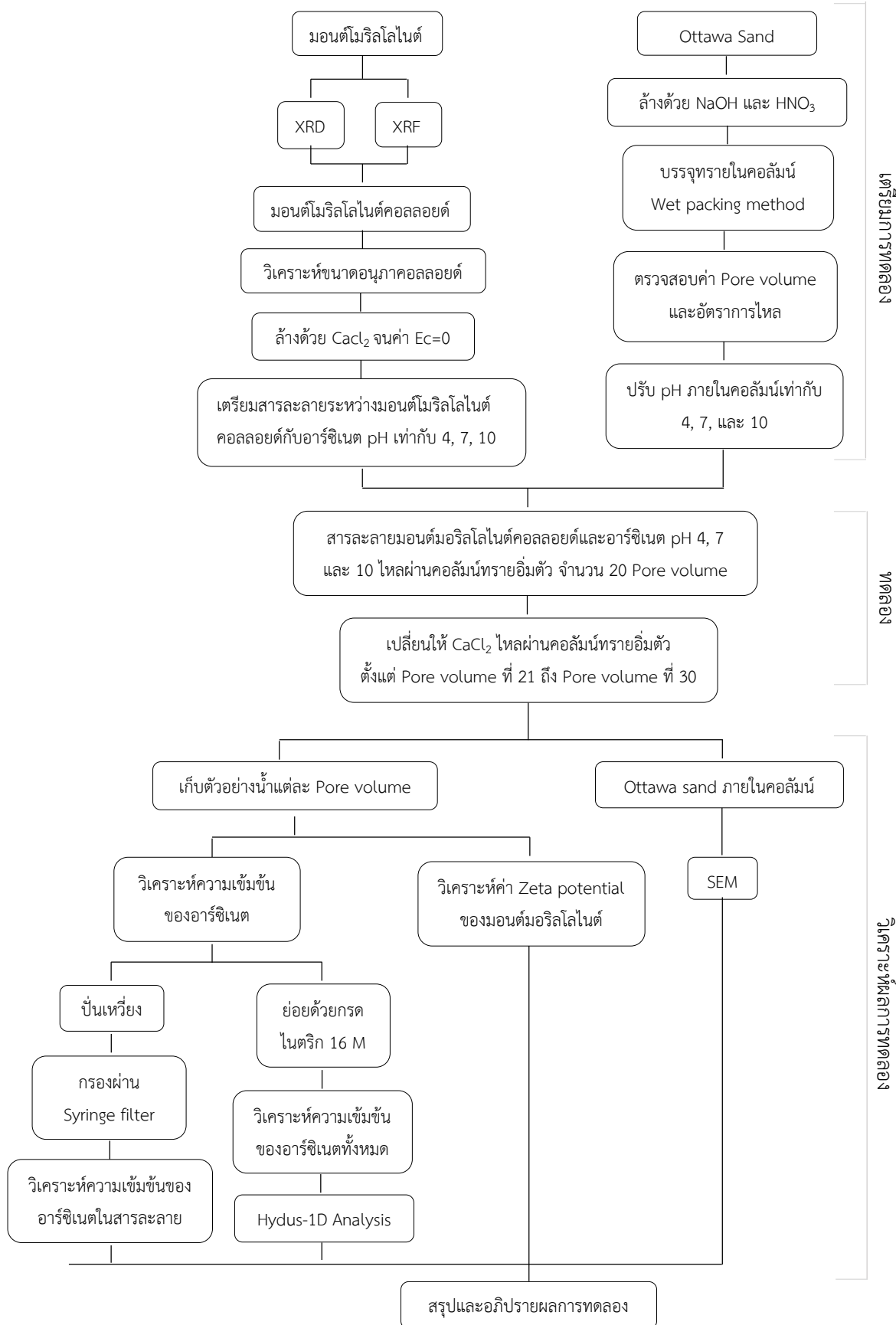
- 1) เติมกรดไนตริกความเข้มข้น 16 M โดยอัตราส่วนกรดไนตริกต่อสารละลายตัวอย่างเท่ากับ 1 ต่อ 1 ในส่วนที่เหลือของ pore volume
- 2) ให้ความร้อน 90 องศาเซลเซียสในตู้ดูดควัน
- 3) วิเคราะห์ความเข้มข้นอาร์ซิเนตทั้งหมดโดยใช้ Atomic absorption spectroscopy ที่ โรงเรียนมหาวิทยาลัยสรณ์
- 4) วิเคราะห์ผลความเข้มข้นของอาร์ซิเนตทั้งหมดโดยใช้โปรแกรม Hydus-1D

3.3 การวิเคราะห์ Scanning Electron Microscope (SEM) ของผิวทราย

วิเคราะห์รูตุต่างๆที่อยู่บริเวณพื้นผิวของทราย และลักษณะพื้นผิวทราย โดย Scanning Electron Microscope (SEM) (JEOL, JSM-6610LV and Oxford, X-maxn 50) ที่ศูนย์เครื่องมือวิจัยวิทยาศาสตร์ และเทคโนโลยีจุฬาลงกรณ์มหาวิทยาลัย

4. ตีความผลการวิเคราะห์ข้อมูล

5. สรุปและอภิปรายผลการศึกษา



รูปที่ 3.7 Flowchart ขั้นตอนการดำเนินงานและวิเคราะห์ผลการทดลอง

บทที่ 4

ผลการศึกษาและอภิปรายผล

4.1 ผลการวิเคราะห์ขนาดของมอนต์มอริลโลในต่ำคอลลอยด์ก่อนการทดลอง

จากการวิเคราะห์ขนาดของอนุภาคคอลลอยด์ที่ได้จากการเตรียมโดยวิธีการสูบปริมาตรครึ่งหนึ่งของสารละลายมอนต์มอริลโลในต์ที่ตักตะกอนเป็นเวลา 24 ชั่วโมง ด้วยเครื่อง Malvern Zetasizer Nano โดยใช้ค่าต้นน้ำการหักเหแสง (Refractive Index) ของมอนต์มอริลโลในต์เท่ากับ 1.52 พบร่วมกับขนาดอนุภาคเฉลี่ยเท่ากับ 473.97 นาโนเมตร (ตารางที่ 1) สอดคล้องกับการศึกษาของ Kretzschmar และคณะ (1999) ที่พบร่วมกับแข็งสามารถเคลื่อนที่เมื่อนอนุภาคคอลลอยด์ได้ ทั้งแร่ในกลุ่มอะลูมิโนซิลิกेट (กลุ่มแร่ดิน) อินทรีย์วัตถุและอื่นๆ โดยมีขนาดของอนุภาคอยู่ในช่วง 1 นาโนเมตร ถึง 10 ไมโครเมตร ดังนั้นอนุภาคที่ได้จึงเป็นอนุภาคคอลลอยด์ของมอนต์มอริลโลในต์

ตารางที่ 4.1 ขนาดของอนุภาคคอลลอยด์

ครั้งที่	ขนาดของอนุภาคคอลloyd (nm)
1	491.10
2	456.90
3	473.90
เฉลี่ย	473.97
ค่าเบี่ยงเบนมาตรฐาน	17.10

4.2 การเคลื่อนตัวของอาร์ซิเนตโดยมอนต์มอริลโลในต่ำคอลลอยด์ในคลัมน์ทรายอิ่มตัวที่ค่าพีเอชเท่ากับ 4 7 และ 10

สารละลายมอนต์มอริลโลในต่ำคอลลอยด์และอาร์ซิเนตที่มีค่าพีเอชเท่ากับ 4 7 และ 10 จะเคลื่อนที่เข้าสู่คลัมน์ทรายอิ่มตัว ด้วยความเร็วในการไหลคงที่ เพื่อศึกษาผลของการเปลี่ยนแปลงค่าพีเอชต่อการเคลื่อนตัวของอาร์ซิเนต โดยคลัมน์ทรายอิ่มตัวที่ใช้ในการทดลองมีคุณสมบัติดังตารางที่ 4.2

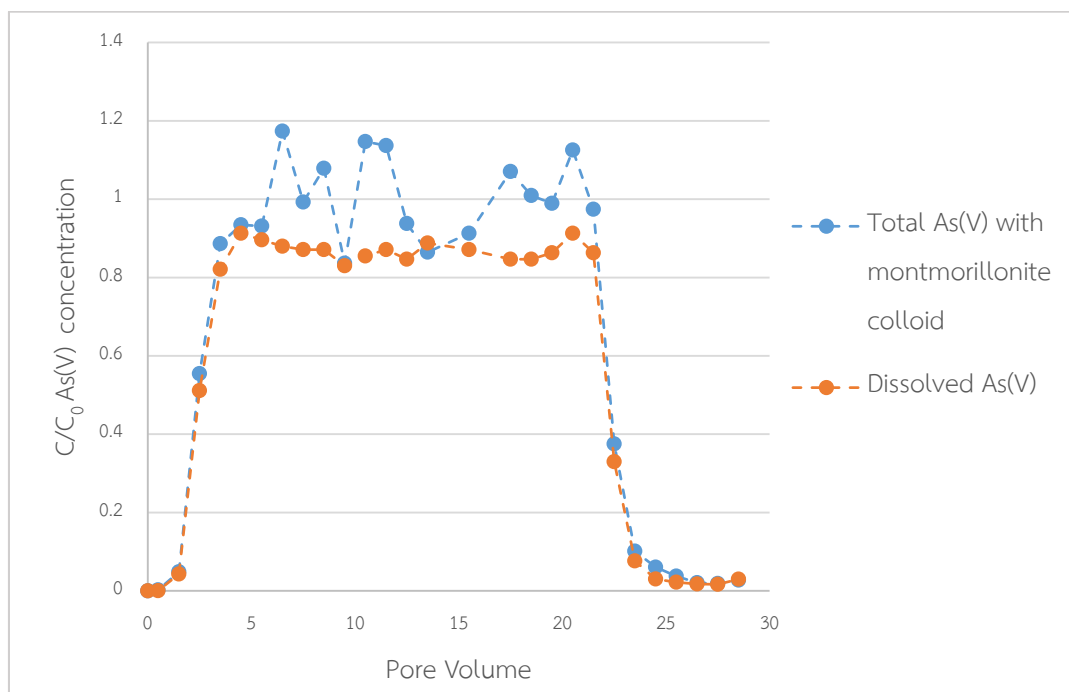
ตารางที่ 4.2 คุณสมบัติของคลัมน์ทรายอิ่มตัวที่ใช้ในการทดลองที่ค่าพีเอชเท่ากับ 4, 7 และ 10

คลัมน์ ที่	พีเอช	ความเยาว์ (ซม.)	เส้นผ่าน ศูนย์กลาง (ซม.)	ความ หนาแน่น รวม	ความ พรุน (-)	ปริมาตร (ซม. ³)	ความเร็วใน การซึมผ่าน (เมตร/วัน)	ค่าความ แรงไอ้อน ลาร์)
1	4±0.25	10	2.50	1.64	0.39	15.81	2.29	0.003
2	7±0.04	10	2.50	1.61	0.41	16.57	2.29	0.003
3	10±0.39	10	2.50	1.67	0.38	15.39	2.29	0.003

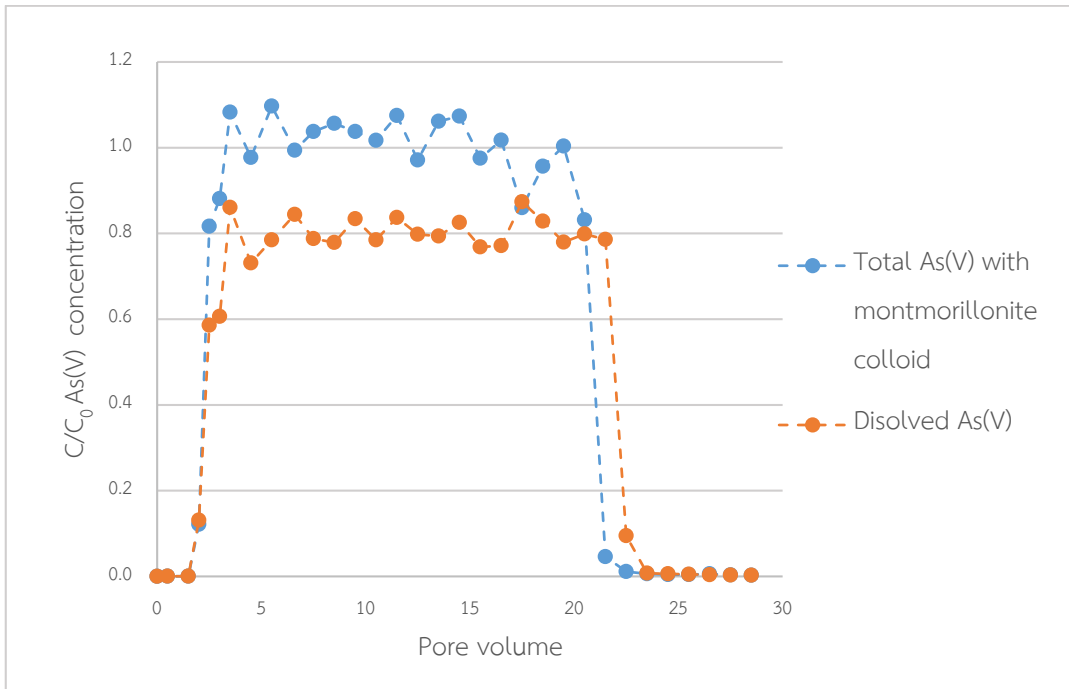
ผลการเคลื่อนตัวของอาร์ซิเนตในคอลัมน์ทรายอิ่มตัวซึ่งมีมอนต์มอริลโลไนต์คอลลอยด์เป็นพาหะสามารถวิเคราะห์ได้จากราฟ breakthrough curve ระหว่างอัตราส่วนความเข้มข้นของอาร์ซิเนตที่เคลื่อนที่ออกมากจากคอลัมน์ทรายอิ่มตัวต่อความเข้มข้นเริ่มต้น (C/C_0) กับปริมาตรรูพุน (Pore volume) ซึ่งเป็นปริมาตรของสารละลายที่ไหลผ่านคอลัมน์ทรายต่อปริมาตรซึ่งว่าระหว่างตะกอนทรัพยากรายภัยในคอลัมน์ (รูปที่ 4.1, 4.2, 4.3) โดยความเข้มข้นเริ่มต้นของอาร์ซิเนตและมอนต์มอริลโลไนต์ ดังแสดงในตารางที่ 4.3

ตารางที่ 4.3 ความเข้มข้นเริ่มต้นของมอนต์มอริลโลไนต์คอลลอยด์และอาร์ซิเนตที่ค่าพีไออชต่างๆ

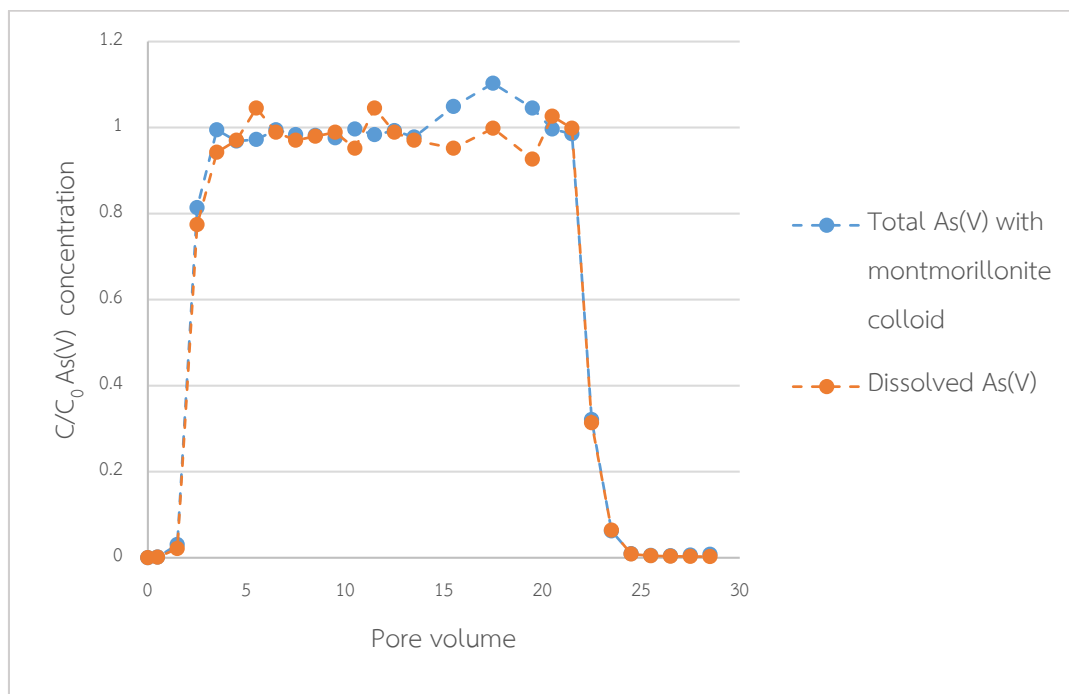
คอลัมน์ที่	พีไออช	อาร์ซิเนตในสารละลาย (ppm)	อาร์ซิเนตทึ่งหมวด (ppm)	อาร์ซิเนตบนผิวของมอนต์มอริลโลไนต์ (ppm)	มอนต์มอริลโลไนต์คอลloyd (ppm)
1	4 ± 0.25	10.49	12.05	1.56	100
2	7 ± 0.04	9.97	12.40	2.77	100
3	10 ± 0.39	10.54	10.72	0.18	100



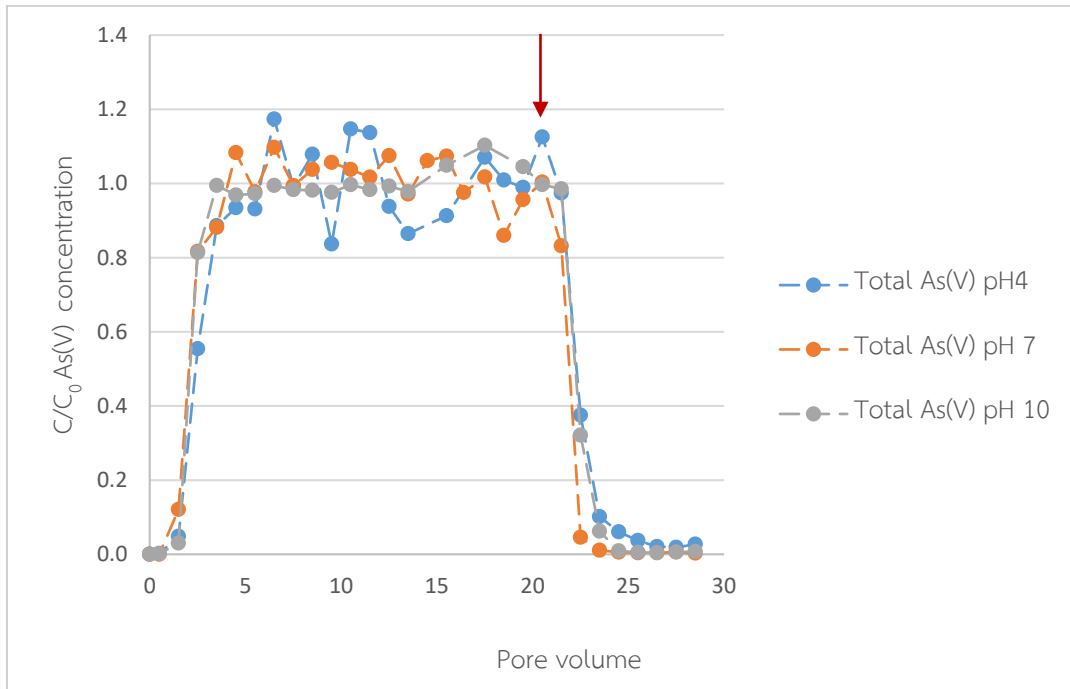
รูปที่ 4.1 กราฟ breakthrough ระหว่างความเข้มข้นของอาร์ซิเนตต่อความเข้มข้นเริ่มต้น (C/C_0) กับปริมาตรรูพุนที่ค่าพีไออช 4



รูปที่ 4.2 กราฟ breakthrough ระหว่างความเข้มข้นของอาร์ซิเนตต่อความเข้มข้นเริ่มต้น (C/C_0) กับปริมาตรรูปrunที่ค่าพีโอช 7



รูปที่ 4.3 กราฟ breakthrough ระหว่างความเข้มข้นของอาร์ซิเนตต่อความเข้มข้นเริ่มต้น (C/C_0) กับปริมาตรรูปrunที่ค่าพีโอช 10



รูปที่ 4.4 กราฟ breakthrough ระหว่างความเข้มข้นของอาร์ซิเนตต่อความเข้มข้นเริ่มต้น (C/C_0) กับปริมาตรรุพนของอาร์ซิเนตทั้งหมดที่ค่าพีอี 4, 7 และ 10

จากรูปจะเห็นว่าความเข้มข้นของอาร์ซิเนตทั้งหมด (Total As(V)) และอาร์ซิเนตในสารละลาย (Dissolved As(V)) จะค่อยๆ เพิ่มขึ้นจนคงที่ และเมื่อเปลี่ยนให้ CaCl_2 ให้ในระบบแทนสารละลาย มอนต์莫ริลโลในตัวอยู่ พบร่วงคงมีอาร์ซิเนตค้างอยู่ในคลัมน์ทรายอีมตัวและค่อยๆ ลดลงเมื่อเวลาผ่านไป โดยเมื่อคำนวณผลต่างของพื้นที่ต่ำกว่าปริมาตรกับความเข้มข้นของอาร์ซิเนตที่ ออกมากจากคลัมน์ของอาร์ซิเนตทั้งหมดและอาร์ซิเนตในสารละลายที่พีอี 4, 7 และ 10 พบร่วง อาร์ซิเนตที่ถูกดูดซับโดยมอนต์莫ริลโลในตัวและเคลื่อนที่ออกมากจากคลัมน์คิดเป็นร้อยละ 13.16, 16.32 และ 2.99 ของปริมาณอาร์ซิเนตทั้งหมดที่เข้าสู่คลัมน์ ตามลำดับ (ตารางที่ 4.4) สอดคล้องกับการศึกษาของ Mohapatra และคณะ (2007) ที่ได้ศึกษาการดูดซับอาร์ซิเนตของมอนต์莫ริลโลในตัว ด้วยวิธี Batch experiment พบร่วงที่พีอีระหว่าง 2 ถึง 5 การดูดซับอาร์ซิเนตค่อนข้างคงที่ โดยอาร์ซิเนตถูกดูดซับโดย มอนต์莫ริลโลในตัว 54% และลดลงเป็น 24% เมื่อค่าพีอีเท่ากับ 9 และการศึกษาของ Mathialagan และ Viraraghawan (2002) ที่พบร่วงตอนของออกซิเจนที่ผิวดินในกลุ่มแร่ดิน (Clay mineral) เกิดปฏิกิริยา กับน้ำในสภาพที่เป็นกรด ทำให้เกิดประจุบวกที่พื้นผิว และสามารถดูดซับอาร์ซิเนตที่เป็นประจุลบได้ ดังสมการ (1) และ (2)



แต่เมื่อค่าพีเอชเพิ่มขึ้นพิวของแร่ในกลุ่มแร่ดินมีประจุเป็นลบเพิ่มสูงขึ้น ซึ่งขัดขวางการดูดซับอาร์ซิเนต ทำให้มีการดูดซับอาร์ซิเนตที่ต่ำ ดังสมการ (3)



ตารางที่ 4.4 ปริมาณอาร์ซิเนตที่ถูกดูดซับโดยมอนต์มอริลโลในต์และเคลื่อนที่ออกจากคลัมน์

คลัมน์ ที่	พีเอช	อาร์ซิเนตทั้งหมดที่ เข้าสู่คลัมน์ (mg)	ปริมาณอาร์ซิเนตที่ถูกดูดซับ และออกมาจากคลัมน์ (mg)	ร้อยละของอาร์ซิเนต ที่ถูกดูดซับ
1	4±0.25	3.715	0.489	13.165
2	7±0.04	4.010	0.654	16.320
3	10±0.39	3.216	0.100	2.990

เมื่อพิจารณาค่า Retardation factor (RF) (ตารางที่ 4.5) จากพื้นที่เหนือกราฟ breakthrough โดยคำนวณจากระยะจุดเริ่มต้นถึงจุดที่ C/C_0 เท่ากับ 1 ซึ่งค่า Retardation factor คือ ค่าอัตราส่วนระหว่างความเร็วของสารปนเปื้อนต่อความเร็วของน้ำ หรือกล่าวได้ว่าความเร็วการเคลื่อนตัวของสารปนเปื้อนซึ่งกว่าน้ำที่เท่า พบร่วมกับอาร์ซิเนตทั้งหมดที่พีเอชเท่ากับ 4 7 และ 10 มีค่า Retardation factor เท่ากับ 4.57, 2.34 และ 2.29 ตามลำดับ ดังนั้nar์ซิเนตทั้งหมดที่พีเอชเท่ากับ 10 เคลื่อนที่ออกจากคลัมน์เร็วสุด รองลงมาเป็นอาร์ซิเนตทั้งหมดที่พีเอชเท่ากับ 7 และ 4 ตามลำดับ เนื่องจากที่พีเอช 4 อนุภาคมอนต์มอริลโลในต์มีขนาด 1,150.5 nm ในขณะที่พีเอช 7 และ 10 มีขนาด 656.8 และ 306.06 ตามลำดับ (ตารางที่ 4.6) จึงเกิดค้างอยู่ภายในคลัมน์และเคลื่อนที่ออกจากคลัมน์ซึ่งกว่าที่พีเอชเท่ากับ 7 และ 10 ทำให้อาร์ซิเนตที่ถูกดูดซับโดยมอนต์มอริลโลในต์เคลื่อนที่ออกจากคลัมน์ซึ่งด้วย ทั้งนี้ที่พีเอชเท่ากับ 4 ซึ่งเป็นสภาวะที่เป็นกรดมอนต์มอริลโลในต์มีความสามารถในการดูดซับอาร์ซิเนตสูงกว่าที่พีเอช 7 และ 10 ทำให้ร้อยละของอาร์ซิเนตที่ถูกดูดซับโดยมอนต์มอริลโลในต์และเคลื่อนที่ออกจากคลัมน์ที่พีเอชเท่ากับ 4 สูงกว่าที่พีเอชเท่ากับ 10 แต่ต่ำกว่าที่พีเอชเท่ากับ 7 เนื่องจากมีผลของขนาดอนุภาคมอนต์มอริลโลในต์เข้ามายังการเคลื่อนที่

ประจุบนผิวของมอนต์มอริลโลในต์มีค่าเท่ากับศูนย์ (pH_{pzc}) เมื่อพีเอชมีค่าเท่ากับ 2.9 (Mohapatra et al., 2007) ในขณะที่ pH_{pzc} ของทรัยมีค่าเท่ากับ 5 (Chotpantarat and Amasvata, 2020) ดังนั้นที่พีเอชเท่ากับ 4 รายจะมีประจุที่ผิวเป็นบวก แต่มอนต์มอริลโลในต์จะมีประจุบริเวณพื้นผิวเป็นลบ (ตารางที่ 4.7) และอาร์ซิเนตซึ่งมีประจุรวมของโนเมเลกุลเป็นลบ ทำให้มอนต์มอริลโลในต์และอาร์ซิเนตบางส่วนถูกดูดซับโดยทรัยภายในคลัมน์ จึงยังคงค้างอยู่ภายในคลัมน์ทรัยอีกด้วย แต่ที่ค่าพีเอชเท่ากับ 7 และ 10 ซึ่งสูงกว่า pH_{pzc} ทั้งประจุบนผิวของมอนต์มอริลโลในต์และทรัยจะเป็นประจุลบจึงมีการดูดซับอาร์ซิเนตโดย มอนต์มอริลโลในต์ด้วยแรงทางไฟฟ้า และเกิดแรงผลักดันระหว่างมอนต์มอริลโลในต์กับมอนต์มอริลโลในต์ และมอนต์มอริลโลในต์กับทรัย ทำให้มอนต์มอริลโลในต์ที่มีการดูดซับอาร์ซิเนตไว้เคลื่อนที่ออกจากได้เร็ว จึงส่งผลให้อาร์ซิเนตเคลื่อนที่ออกจากคลัมน์ได้เร็ว

ตารางที่ 4.5 Retardation factor ของาร์ซิเนตทั้งหมดที่พีเอชเท่ากับ 4 7 และ 10

คอลัมน์ที่	พีเอช	อาร์ซิเนต	Retardation factor (RF)
1	4±0.25	อาร์ซิเนตทั้งหมด	4.57
2	7±0.04	อาร์ซิเนตทั้งหมด	2.34
3	10±0.39	อาร์ซิเนตทั้งหมด	2.29

ตารางที่ 4.6 ขนาดอนุภาคของมอนต์มอริลโลในต่ำคอลลอยด์

คอลัมน์ที่	พีเอช	ขนาดอนุภาคคอลลอยด์ (นาโนเมตร)				
		ครั้งที่ 1	ครั้งที่ 2	ครั้งที่ 3	เฉลี่ย	SD
1	4.0±0.25	-	1116	1185	1150.50	34.50
2	7.0±0.04	696.8	616.8	-	656.80	40.00
3	10±0.39	330.6	298.4	289.2	306.06	17.75

ตารางที่ 4.7 Zeta potential ของมอนต์มอริลโลในต่ำคอลลอยด์

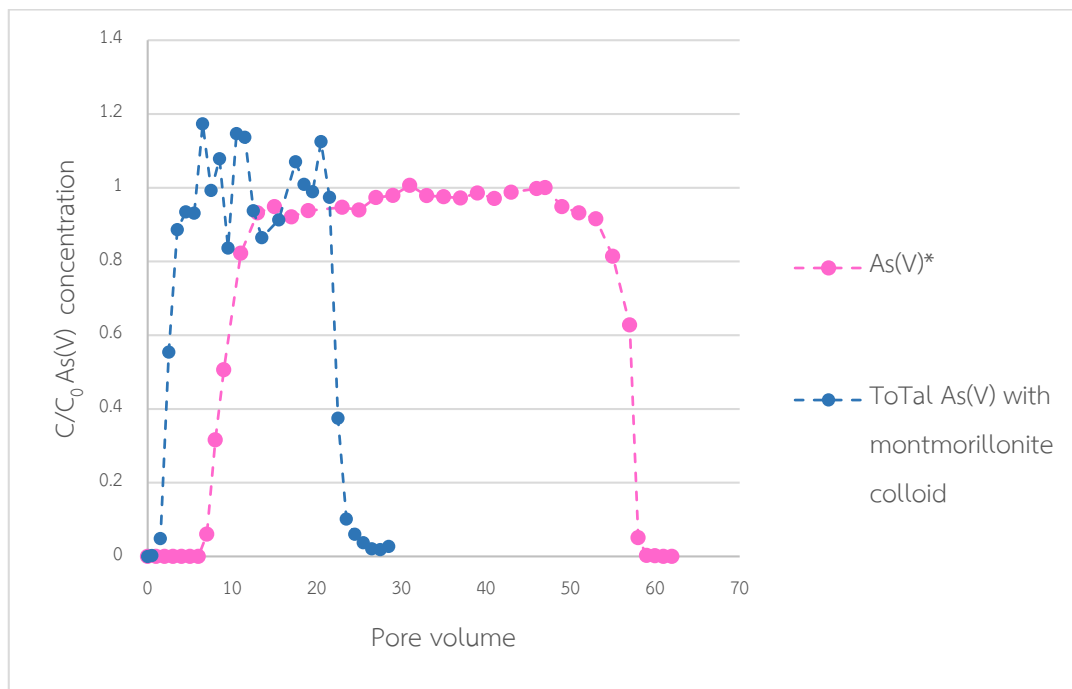
คอลัมน์ที่	พีเอช	Zeta potential อนุภาคคอลลอยด์ (mV)				
		ครั้งที่ 1	ครั้งที่ 2	ครั้งที่ 3	เฉลี่ย	SD
1	4.0±0.25	-14.8	-14.8	-13.1	-14.23	0.80
2	7.0±0.04	-2.88	-5.42	-7.93	-5.41	2.06
3	10±0.39	-32.6	-33.6	-35.8	-34.00	1.34

เมื่อเปรียบเทียบผลการศึกษานี้กับ Chotpantarat และ Amasvata (2020) ได้ศึกษาผลของค่าพีเอชต่อการเคลื่อนที่ของอาร์ซิเนตผ่านคอลัมน์อิมตัวที่บรรจุวัสดุที่แตกต่างกัน นั่นคือ ราย รายที่ถูกเคลือบด้วยเหล็กออกไซด์ (Iron oxide-coated sand) และรายที่ถูกเคลือบด้วยเหล็กวาเลนซ์ศูนย์ (Zero-valent iron oxide-coated sand) ที่ค่าพีเอชเท่ากับ 4 และ 7 ซึ่งสามารถเปรียบเทียบคุณสมบัติของคอลัมน์รายอิมตัวกับการศึกษาในครั้งนี้ได้ดังตารางที่ 4.8

ตารางที่ 4.8 เปรียบเทียบคุณสมบัติของ colloidal รายอิมตัวที่ค่าพีเอชเท่ากับ 4 7 และ 10

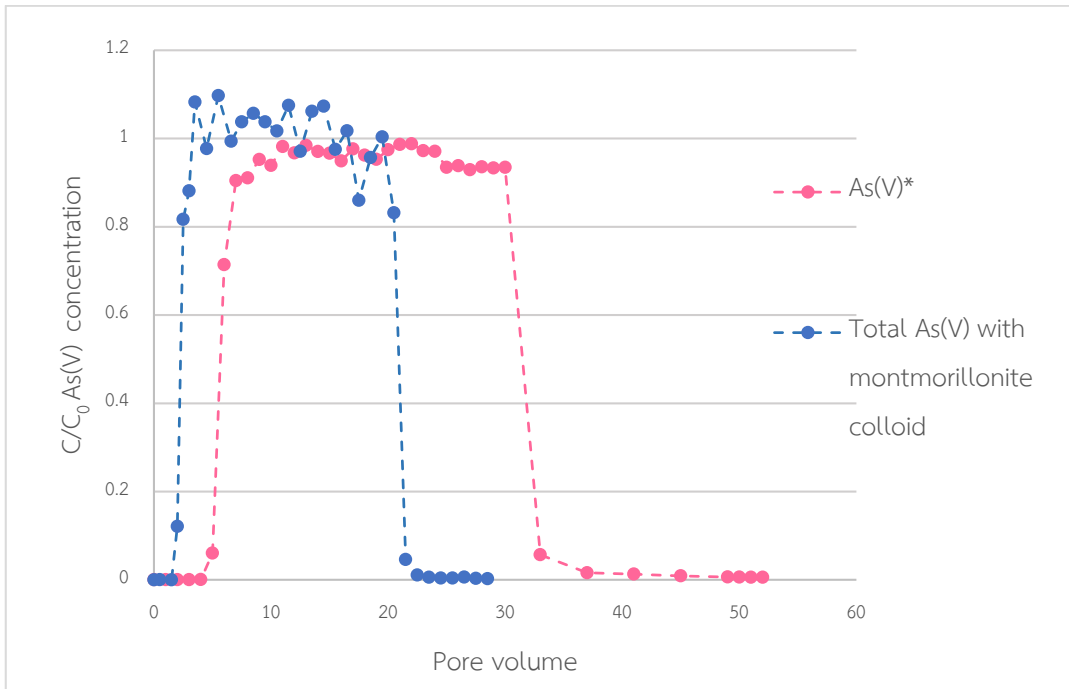
colloidal ที่	pH	ความเยาว์ (ชม.)	เส้นผ่าน ศูนย์กลาง (ชม.)	ความ หนาแน่นรวม (กรัม/ชม. ³)	ความพรุน (-)	ปริมาตร รูพรุน (ชม. ³)	ความเร็วใน
							การซึมผ่าน (เมตร/วัน)
1	4.0±0.25	10	2.50	1.64	0.39	15.81	2.29
1*	4.0±0.1	10	2.50	1.51	0.38	19.10	2.30
2	7.0±0.04	10	2.50	1.61	0.41	16.57	2.29
2*	7.0±0.2	10	2.50	1.51	0.38	19.08	2.30
3	10±0.39	10	2.50	1.67	0.38	15.39	2.29
3*	-	-	-	-	-	-	-

1*, 2*, 3* (Chotpantarat and Amasvata, 2020)



As(V)* (Chotpantarat and Amasvata, 2020)

รูปที่ 4.5 กราฟ breakthrough เปรียบเทียบการเคลื่อนที่ของอาร์ซิเนตใน colloidal รายอิมตัว (As(V)) กับ อาร์ซิเนตที่มีมอนต์มอริลโลในต์ colloidal (Total As(V)) ที่ค่าพีเอชเท่ากับ 4



As(V)* (Chotpantarat and Amasvata, 2020)

รูปที่ 4.6 กราฟ breakthrough เปรียบเทียบการเคลื่อนที่ของอาร์ซิเนตในคอลัมน์รายอิมตัว (As(V)) กับ อาร์ซิเนตที่มีมอนต์มอริลโลในต์คอลล้อยด์ (Total As(V)) ที่ค่าพีเอชเท่ากับ 7

จากรูปที่ 4.5 และ 4.6 จะเห็นว่าอาร์ซิเนตหั้งหมด ซึ่งมีผลของมอนต์มอริลโลในต์คอลล้อยด์เข้ามาเกี่ยวข้องในการเคลื่อนที่ภายในคอลัมน์รายอิมตัว เคลื่อนที่ออกจากคอลัมน์ได้เร็วกว่าอาร์ซิเนตที่เคลื่อนที่ในคอลัมน์รายที่โดยไม่มีผลของมอนต์มอริลโลในต์คอลล้อยด์ ดังนั้นมอนต์มอริลโลในต์คอลล้อยด์มีผลทำให้อาร์ซิเนตเคลื่อนที่ออกจากคอลัมน์รายอิมตัวเร็วขึ้นที่พีเอชเท่ากับ 4 และ 7 และเมื่อเปรียบเทียบค่า Retardation factor (ตารางที่ 4.9) พบร้า อาร์ซิเนตหั้งหมดเคลื่อนที่ได้เร็วกว่าอาร์ซิเนตที่เคลื่อนที่ในคอลัมน์รายอิมตัวที่ไม่มีผลของมอนต์มอริลโลในต์ โดยมีร้อยละความแตกต่างของความเร็วในการไหลเท่ากับ 55.06 และ 61.19 ที่พีเอชเท่ากับ 4 และ 7 ตามลำดับ เนื่องจากที่พีเอช 4 ประจุบนพื้นผิวของทรายเป็นบวก นี่ การดูดซับอาร์ซิเนตไว้ จึงเคลื่อนที่ออกจากคอลัมน์ได้ช้า ในขณะเดียวกันเมื่อมีมอนต์มอริลโลในต์ที่อยู่ในสภาพ เป็นกรด มีความสามารถในการดูดซับอาร์ซิเนตและเป็นพาหะให้อาร์ซิเนตเคลื่อนที่ออกจากคอลัมน์ และที่พีเอช 7 ประจุบนพื้นผิวของทรายและมอนต์มอริลโลในต์เป็นลบ จึงเกิดการผลักกัน ทำให้มอนต์มอริลโลในต์ที่มีการดูดซับอาร์ซิเนตไว้เคลื่อนที่อกมาได้เร็ว จึงส่งผลให้อาร์ซิเนตเคลื่อนที่อกมาจากคอลัมน์ได้เร็ว ดังที่กล่าวมาข้างต้น

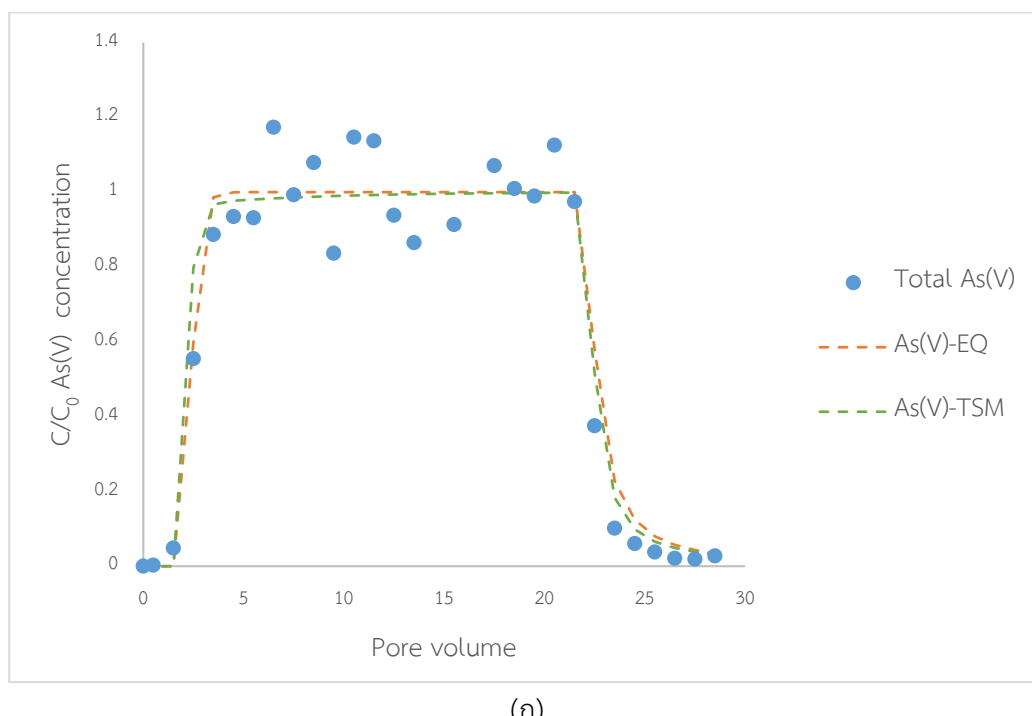
ตารางที่ 4.9 เปรียบเทียบ Retardation factor ของอาร์ซิเนตเมื่อมีและไม่มีผลของมอนต์มอริลโลในสารละลายน้ำพีเอช 4.7 และ 10

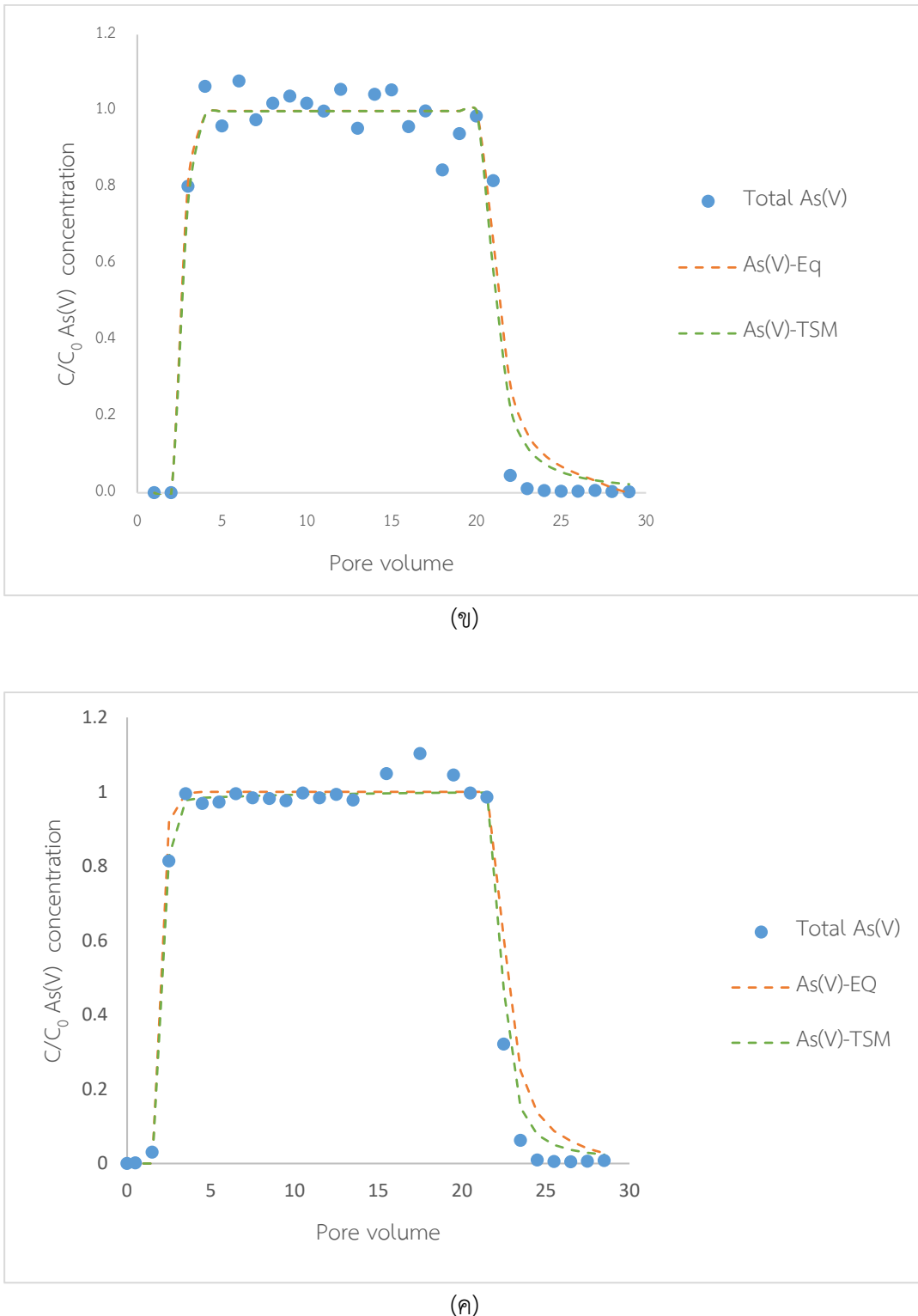
คอลัมน์ที่	พีเอช	อาร์ซิเนต	ผลของมอนต์มอริลโลในตัว	Retardation factor (RF)	% ความแตกต่างความเร็วในการไหล
1	4.0 ± 0.25	อาร์ซิเนตทั้งหมด	มี	4.57	
1*	4.0 ± 0.1	อาร์ซิเนต	ไม่มี	10.17	55.06
2	7.0 ± 0.04	อาร์ซิเนตทั้งหมด	มี	2.34	
2*	7.0 ± 0.2	อาร์ซิเนต	ไม่มี	6.03	61.19
3	10 ± 0.39	อาร์ซิเนตทั้งหมด	มี	2.29	-
3*	-	อาร์ซิเนต	ไม่มี	-	-

1, 2, 3* (Chotpantarat and Amasvata, 2020)

4.3 แบบจำลองการเคลื่อนที่ของอาร์ซิเนตผ่านคอลัมน์รายอิ่มตัว โดยโปรแกรม Hydus-1D

แบบจำลองโดยโปรแกรม Hydus-1D อธิบายการไหลในสภาพที่มีสมดุลทางกายภาพ (Physical equilibrium) และไม่สมดุลทางเคมี (Chemical non-equilibrium) โดยในการสร้างแบบจำลองการเคลื่อนที่ของอาร์ซิเนตผ่านคอลัมน์รายอิ่มตัวใช้แบบจำลองในลักษณะผกผัน (Inverse Model) เพื่อหาค่าพารามิเตอร์ต่างๆจากแบบจำลอง และใช้แบบจำลอง Linear/nonlinear equilibrium convection dispersion (CD_{eq}) เพื่ออธิบายการเคลื่อนที่ในสภาพสมดุล และใช้ The two-site model (TSM) อธิบายการเคลื่อนที่ในสภาพไม่สมดุลทางเคมี





รูปที่ 4.7 เส้นโค้งที่เหมาะสม (Curve fitting) ของ Equilibrium model (Eq) และ The two-site model (TSM) ของอาร์ซีเนตทั้งหมด; (ก) กราฟ breakthrough curve ค่าพีເອັບເທົກັນ 4, (ຂ) กราฟ breakthrough curve ค่าพີເອັບເທົກັນ 7 และ (ຄ) กราฟ breakthrough curve ค่าພີເອັບເທົກັນ 10

จากรูปที่ 4.7 พบว่าที่พีเอชเท่ากับ 10 เส้นโค้งที่เกิดจาก The two-site model (TSM) อธิบายการเคลื่อนที่ของอาร์ซิเนตโดยมีผลของมอนต์มอริลโลในต์มากกว่า Equilibrium model และแสดงถึงการเคลื่อนที่ของอาร์ซิเนตผ่านคอลัมน์ทรายอิ่มตัวในสภาพไม่สมดุล (Non-equilibrium model) กลไกการดูดซึบที่เกิดขึ้นระหว่างการเคลื่อนที่ของอาร์ซิเนตผ่านคอลัมน์ทรายอิ่มตัวเป็นแบบ Kinetic sorption มากกว่า Instantaneous sorption โดยค่า R^2 ของแบบจำลอง Equilibrium model และ two-site model (TSM) (ตารางที่ 4.10) มีค่าเท่ากับ 0.9754 และ 0.9917 ตามลำดับ และเมื่อพิจารณาค่า R-Squared ของแบบจำลอง Equilibrium model และ The two-site model (TSM) พีเอช 4 และพีเอช 7 มีค่าใกล้เคียงกัน ดังแสดงในตารางที่ 4.8 จึงสรุปได้ว่า การดูดซึบของอาร์ซิเนตโดยมีผลของมอนต์มอริลโลในต์ที่พีเอชเท่ากับ 4 และ 7 ภายในคอลัมน์ทรายอิ่มตัวเป็นสภาพสมดุล

จากข้อมูลพารามิเตอร์ที่ได้จากโปรแกรม Hydus-1D (ตารางที่ 4.10) จะเห็นได้ว่าค่าคงที่ของฟรุนดริช (Freundlich constants, K_F) ของแบบจำลอง Equilibrium model ลดลงจาก 4.363 เป็น 4.094 และ 3.714 เช่นเดียวกับ Nonequilibrium model ก็ลดลงจาก 4.763 เป็น 4.672 และ 3.778 ที่พีเอชเท่ากับ 4 7 และ 10 ตามลำดับ สอดคล้องกับการลดลงของค่า Retardation factor ที่ลดลงจาก 4.57 เป็น 2.34 และ 2.29 ที่พีเอชเท่ากับ 4 7 และ 10 ตามลำดับ

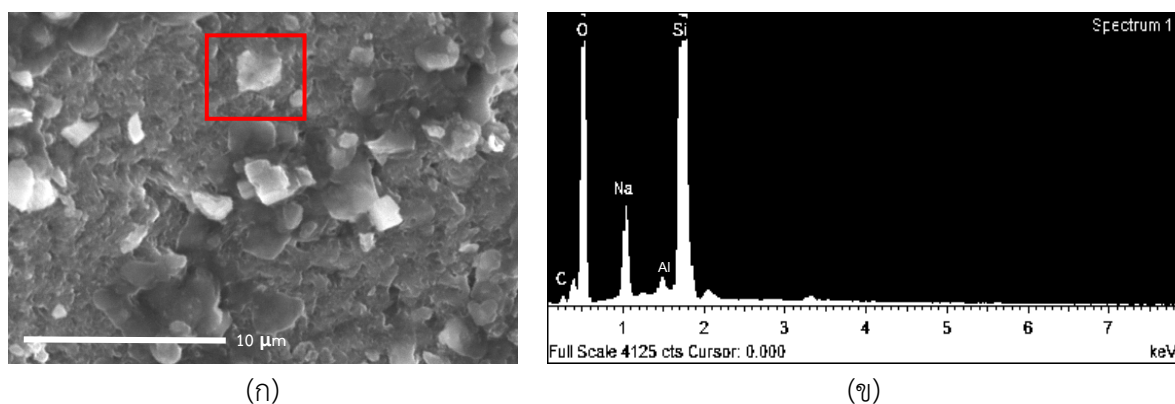
เมื่อเปรียบเทียบผลจากโปรแกรม Hydus-1D ของการเคลื่อนที่ของอาร์ซิเนตในคอลัมน์ทรายอิ่มตัวโดยมีและไม่มีผลของมอนต์มอริลโลในต์จากการศึกษาของ จาก Chotpantarat และ Amasvata (2020) พบว่าเมื่อปราศจากผลของมอนต์มอริลโลในต์ อาร์ซิเนตถูกดูดซึบที่ในสภาพสมดุล อธิบายโดยเส้นโค้งที่เกิดจาก Equilibrium model ทั้งพีเอชเท่ากับ 4 และ 7 ซึ่งสอดคล้องกับผลการศึกษาในครั้งนี้ ดังนั้นการมีมอนต์มอริลโลในต์ไม่ได้เปลี่ยนพฤติกรรมการดูดซึบและเคลื่อนตัวของอาร์ซิเนตที่พีเอชเท่ากับ 4 และ 7 หากแต่เริ่มเห็นพฤติกรรมการของการดูดซึบและเคลื่อนตัวของอาร์ซิเนตเริ่มเปลี่ยนเป็นแบบจำลองแบบ two-site model (TSM) ด้วยค่า R^2 เท่ากับ 0.9917 และมีค่า f (fraction of equilibrium site) เท่ากับ 0.829 เนื่องจากขนาดของมอนต์มอริลโลในต์ที่เล็กลงอย่างเห็นได้ชัด 289.2 nm (ตารางที่ 4.5) ทำให้มอนต์มอริลโลในต์เคลื่อนที่ออกมาจากคอลัมน์ทรายได้อย่างรวดเร็ว ส่งผลให้การดูดซึบของอาร์ซิเนตที่เกิดขึ้นในคอลัมน์เป็นแบบไม่สมดุล (Chotpantarat and Kiatvarangkul, 2018)

ตารางที่ 4.10 ค่าพารามิเตอร์ของสีนโค้ดที่เหมาะสมที่ได้จากโปรแกรม Hydus-1D

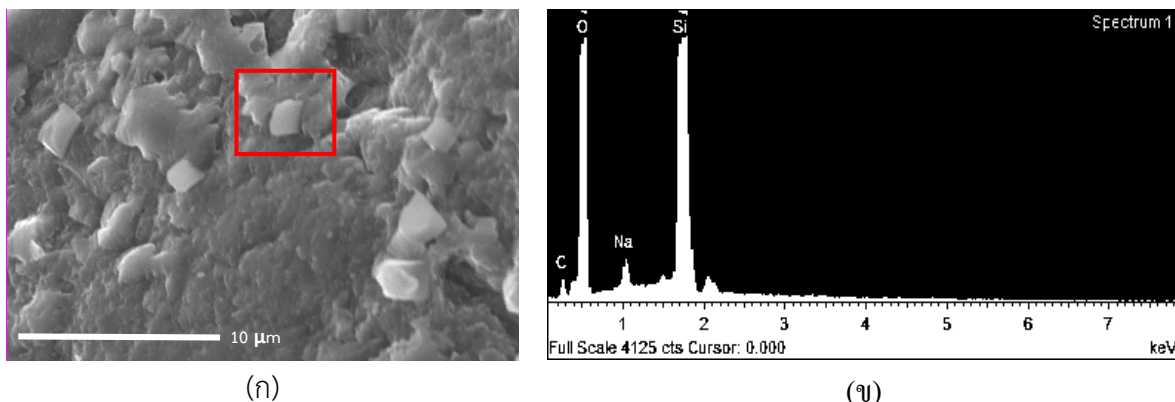
columne ที่	As(V)	Equilibrium model				The two-site model (TSM)					
		K _f	1/n	RMSE	R ²	K _f	1/n	f	α (hr ⁻¹)	RMSE	R ²
1	As(V) _{Total}	4.363	0.474	1.165	0.9569	4.763	0.360	0.823	0.0052	1.215	0.9518
1*	As(V)	9.810	0.580	-	0.9763	9.50	0.59	0.99	0.0040	-	0.9894
2	As(V) _{Total}	4.094	0.540	1.008	0.9759	4.672	0.415	0.991	0.004	0.989	0.9754
2*	As(V)	5.57	0.41	-	0.9913	7.20	0.370	0.09	0.0038	-	0.9894
3	As(V) _{Total}	3.714	0.552	0.895	0.9754	3.778	0.325	0.829	0.0041	0.508	0.9917

1*, 2* (Chotpantarat and Amasvata, 2020)

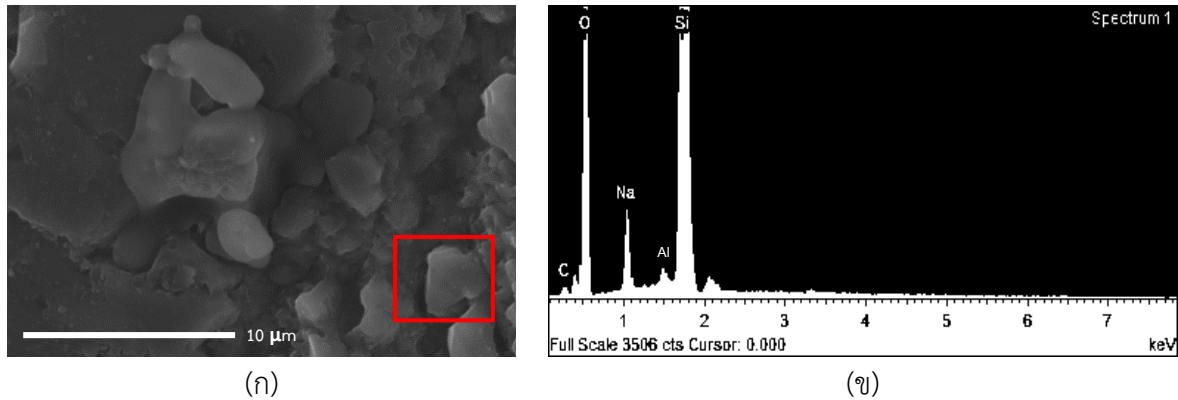
4.4 ผลการวิเคราะห์ลักษณะพื้นผิวของเม็ดทราย



รูปที่ 4.8 (ก) มอนต์มอริลโลในตัวบันพื้นผิวของทราย (ข) สเปกตรัม EDX บนผิวทราย ที่ค่าพีเอช 4



รูปที่ 4.9 (ก) มอนต์มอริลโลในตัวบันพื้นผิวของทราย (ข) สเปกตรัม EDX บนผิวทราย ที่ค่าพีเอช 7



รูปที่ 4.10 (ก) มอนต์มอริลโลในต์บนพื้นผิวของทราย (ข) สเปกตรัม EDX บนผิวทราย ที่ค่าไฟโอซ 10

จากการใช้ SEM-EDX เพื่อดูพื้นผิวของเม็ดทรายและระบุองค์ประกอบที่สำคัญ แสดงให้เห็นว่าพื้นผิวของเม็ดทรายมีความชุ่มชื้น ซึ่งความชุ่มชื้นของพื้นผิวทำให้เกิดการสะสมของอนุภาคมอนต์มอริลโลในต์ คลอโลยดได้ นอกจากนี้ผลของการวิเคราะห์ทางเคมีของ EDX ของทรายยังแสดงถึงองค์ประกอบพื้นฐานของผลึกทรายซึ่งก็คือ Si และ O โดยรูปที่ 4.8-4.10 พื้นผิวของทรายจากคลอลัมน์หลังจากสารละลายอาร์ซิเนทที่มีมอนต์มอริลโลในต์อยู่เคลื่อนที่ผ่านคลอลัมน์ทรายอิมตัวที่ไฟโอซเท่ากับ 4 7 และ 10 ตามลำดับ แสดงให้เห็นว่ามีอนุภาคมอนต์มอริลโลในต์คลอโลยดอยู่บนพื้นผิวของทราย โดยผลการวิเคราะห์ EDX เพื่อหาราตุองค์ประกอบทางเคมี ยืนยันว่ากลุ่มก้อนเหล่านี้เป็นมอนต์มอริลโลในต์คลอโลยด เนื่องจากมีองค์ประกอบของ Si, Al, Na และ O ซึ่งเป็นองค์ประกอบพื้นฐานของแร่เมฆมอนต์มอริลโลในต์

บทที่ 5

สรุปผลและข้อเสนอแนะ

5.1 สรุปผลการศึกษา

งานวิจัยนี้ได้ศึกษาผลของค่าพีอे�ชของสารละลายน้ำต่อความสามารถในการเคลื่อนตัวของอาร์ซิเนตโดยมีมอนต์มอริลโลในตัวอย่างเป็นพาหะ (Facilitator) ในคอลัมน์ทรายอิ่มตัวที่ค่าพีอีช 4, 7 และ 10 ซึ่งสามารถสรุปได้ดังนี้

1. ค่าพีอีชของสารละลายน้ำต์มอริลโลในตัวอย่างเป็นพาหะและอาร์ซิเนตมีผลต่อการเคลื่อนตัวของอาร์ซิเนตผ่านคอลัมน์ทรายอิ่มตัวให้เคลื่อนที่เร็วอุกมาเร็วขึ้น โดยดูจากค่า Retardation factor ที่ลดลงจาก 4.57 เป็น 2.34 และ 2.29 ที่พีอีช 4, 7 และ 10 ตามลำดับ
2. ปริมาณอาร์ซิเนตที่ถูกดูดซับโดยมอนต์มอริลโลในตัวอย่างและเคลื่อนที่ออกมากจากคอลัมน์ ขึ้นอยู่กับขนาดและความสามารถในการดูดซับอาร์ซิเนตของมอนต์มอริลโลในตัวพีอีชต่างๆ
3. เมื่อมีผลของมอนต์มอริลโลในตัวทำให้อาร์ซิเนตเคลื่อนที่ในคอลัมน์ทรายอิ่มตัวได้เร็วกว่ากรณีที่ปราศจากผลของมอนต์มอริลโลในตัว โดยส่งผลให้ความเร็วในการเคลื่อนที่ของสารหนูที่พีอีชเท่ากับ 4 และ 7 สูงขึ้นถึงร้อยละ 55.06 และ 61.19 ตามลำดับ

5.2 ข้อเสนอแนะ

1. ควรมีการวิเคราะห์ปริมาณมอนต์มอริลโลในตัว เพื่อช่วยในการประเมินปริมาณอาร์ซิเนตที่เคลื่อนที่ออกจากการคอลัมน์โดยมอนต์มอริลโลในตัว ในการศึกษาครั้งนี้ไม่ได้วิเคราะห์ปริมาณมอนต์มอริลโลในตัวที่เคลื่อนที่ออกมากจากคอลัมน์ในแต่ละ Pore volume เนื่องจากอุปกรณ์ชำรุด
2. ควรมีการศึกษาปัจจัยอื่นๆ ที่ส่งผลต่อการเคลื่อนที่ของอาร์ซิเนตในสิ่งแวดล้อม เช่น อัตราการไหลของน้ำ ค่าความแรงไอ้อน ปริมาณโลหะ ปริมาณอนุภาคคอลล้อยด์ จุลินทรีย์และอุณหภูมิ
3. งานวิจัยนี้ศึกษาเฉพาะมอนต์มอริลโลในตัวอย่างและอาร์ซิเนตที่สังเคราะห์จากห้องปฏิบัติการเท่านั้น อาจทำการศึกษาเพิ่มเติมโดยนำอนุภาคคอลล้อยด์ของกลุ่มแร่ดินอื่นๆที่พบในสิ่งแวดล้อมมาศึกษา หรือการศึกษาผลของโลหะหนักมากกว่า 1 ชนิด ที่สามารถพบร่วมกันกับอาร์ซิเนต

เอกสารอ้างอิง

กรมทรัพยากรน้ำบาดาล. โครงการสำรวจและศึกษาค่าพื้นฐานโดยห้องน้ำกในน้ำบาดาลในพื้นที่ภาคกลางและตะวันออก พ.ศ. 2560. [ออนไลน์]. เข้าถึงได้จาก <http://www.dgr.go.th/th/download/32>.

[1 มีนาคม 2563]

ธนิศร์ มีบุปผา และ จตุพล โอภาipoibuly. 2555. อิทธิพลของค่า pH และประเภทของวัสดุรองพื้นที่ส่งผลต่อการสะสมทางไฟฟ้าแบบร่วมของอนุภาคไฟเทเนียมบนเนื้อพื้นนิกเกิล.

ศรัณย์ ตันตะราวงศ์ และ รวชชัย เพชรเมธ. 2556. กลไกและทฤษฎีความคงตัวทางกายภาพของยาเขวนตะกอนขนาด nano เมตร. วารสารไทยเส้นศึกษาศาสตร์และวิทยาการสุขภาพ. 8(1), 36-41.

Amrhein, C., Mosher, P. A., and Strong, J. E. 1993. Colloidassisted transport of trace metals in roadside soils receiving deicing salts. Soil Science Society of America Journal. 57(5), 1212–1217.

Batchelor, B. 1998. Leach models for contaminants immobilized by pH-dependent mechanisms. Environmental Science & Technology. 32(11), 1721-1726.

Chotpantarat, S., Amasvata, C. 2020. Influences of pH on transport of arsenate (As^{5+}) through different reactive media using column experiments and transport modeling. Scientific reports. 10(1), 3512.

Chotpantarat, S., and Kiatvarangkul, N. 2018. Facilitated transport of cadmium with montmorillonite KSF colloids under different pH conditions in water-saturated sand columns: experiment and transport modeling. Water Research. 146, 216–31.

De Jonge, L. W., Kjaergaard, C., and Moldrup, P. 2004. Colloids and colloid-facilitated transport of contaminants in soils. Vadose Zone Journal. 3(2), 321.

DeNovio, N.M., Saiers, J.E., and Ryan, J. N. 2004. Colloid movement in unsaturated porous media: Recent advances and future directions. Vadose Zone Journal. 3(2), 338–51.

Duker, A.A., Carranza, E.J.M., Hale, M. 2005. Arsenic geochemistry and health. Environment International. 31, 631–641.

Flora, S.J.S. 2015. Handbook of Arsenic Toxicology. Chapter 1. 1-49.

Frost, R.R., Griffin, R.A. 1977. Effect of pH on adsorption of arsenic and selenium from landfill leachate by clay minerals. Soil Science Society of America Journal. 41, 53–57.

Greenwood, N.N., Earnshaw, A. 1984. Chemistry of the Elements. Pergamon Press, Oxford. Chapter 13.

- Grolimund, D., Elimelech, M., Borkovec, M., Barmetter, K., Kretzschmar, R. and Sticher, H. 1998. Transport of in situ mobilized colloidal particles in packed column. *Environmental Science and Technology*. 32, 3562-3568.
- Hu, B., Luo, H. 2010. Adsorption of hexavalent chromium onto montmorillonite modified with hydroxyaluminum and cetyltrimethylammonium bromide. *Applied Surface Science Journal*. 257, 769–775.
- Kim, J. I. 1991. Actinide colloid generation in groundwater. *Radiochem Acta*. 52/53, 71-81.
- Knappenberger, T., Aramrak, S., and Flury, M. 2015. Transport of barrel and spherical shaped colloids in unsaturated porous media. *Journal of Contaminant Hydrology*. 180, 69–79.
- Kretzschmar, R.M., Borkevec, M., Grolimund, D. and Elimelech, M. 1999. Mobile subsurface colloids and their role in contaminant transport. *Advances in Agronomy*. 66, 121–193.
- Lee, S., Il-Won Ko, In-Ho Yoon, Dong-Wook Kim, and Kyoung-Woong Kim. 2018. Colloid Mobilization and Heavy Metal Transport in the Sampling of Soil Solution from Duckum Soil in South Korea. *Environmental Geochemistry and Health*. 469-480.
- Liu, Y.X., Zhang, X., Guo, L., Wu, F., Deng, N.S. 2008. Photodegradation of bisphenol a in the montmorillonite KSF suspended solutions. *Industrial & Engineering Chemistry Research*. 47, 7141-7146.
- Mathialagan, T.; Viraraghavan, T. 2002. Adsorption of cadmium from aqueous solutions by perlite. *Journal of Hazardous Materials*. 94, 291–303.
- Mohapatra, D., Mishra, D., Chaudhury, G., and Das, R.P. 2007. Arsenic(V) adsorption mechanism using kaolinite, montmorillonite and illite from aqueous medium. *Journal of Environmental Science and Health*. 42, 463–469.
- Nkedi-Kizza, P., Rao, P. S. C., Hornsby, A. G. 1987. Influence of organic cosolvent on leaching of hydrophobic organic chemicals through soils. *Environmental Science & Technology*. 21, 1107–1111.
- Patil, S.R. 2008. Impact of water chemistry (pH and ionic strength) on colloid transport through porous medium. *Electronic Theses, Treatises and Dissertations*. 2135.
- Posadas, A.N.D., Gimenez, D., Bittelli, M., Vaz, C.M.P. and Flury, M. 2001. Multifractal characterization of soil particle-size distribution. *Soil Science Society of America Journal*. 65(5), 1361-1367.
- Ren, X., Zhang, Z., Luo, H., Hu, B., Dang, Z., Yang, C., Li, L. 2014. Adsorption of arsenic modified montmorillonite. *Applied Clay Science Journal*. 97-98, 17–23.

- Roth, E. J., Gilbert, B., & Mays, D. C., 2015. Colloid deposit morphology and clogging in porous media: Fundamental insights through investigation of deposit fractal dimension. *Environmental Science and Technology*. 49(20), 12263–12270.
- Ryan, N. J., and Elimelech, M. 1996. Colloid mobilization and transport in groundwater. *Colloids and Surfaces*, 1-56.
- Sen, T.K., Mahajan, S.P. and Khilar, K.C. 2002. Colloid-associated contaminant transport in porous media: 1. Experiment studies. *AIChE Journal*. 48, 2366-2374.
- Šimůnek, J. and van Genuchten, M. T. 2008. Modeling nonequilibrium flow and transport processes using HYDRUS. *Vadose Zone J.* 7, 782–797.
- Smedley, P.L., Kinniburgh, D.G. 2002. A review of the source, behaviour and distribution of arsenic in natural waters. *Applied Geochemistry*. 17, 517–568.
- Tang, X.Y., Weisbrod N. 2009. Colloid-facilitated transport of lead in natural discrete fractures. *Environmental Pollution*. 157, 2266–2274.
- Uddin, F. 2018. Montmorillonite: An Introduction to properties and utilization. Current topics in the utilization of clay in industrial and medical applications. 6-11.
- USEPA. National primary drinking water standards; EPA 816-F-01-007; United States Environmental Protection Agency, Office of Water: Washington, DC, 2001; <http://www.epa.gov/safewater>.
- Walshe, G. E., Pang, L., Flury, M., Close, M. E. and Flintoft, M. 2010. Effects of pH, ionic strength, dissolved organic matter, and flow rate on the co-transport of MS2 bacteriophages with kaolinite in gravel aquifer media. *Water Research*. 22, 1255-1269.

ກາຄພນວກ

ผลการศึกษาการผลกระทบของมอนต์มอริลโลในต่อคอลลอยด์ต่ำของอาร์ซิเนตในคลัมมน์ทราย
อิ้มตัวที่ค่าพีเอชเท่ากับ 4, 7 และ 10

ตารางที่ ก.1 ค่าความเข้มข้นของมอนต์มอริลโลในต่อคอลloyd และความเข้มข้นของอาร์ซิเนตในคลัมมน์ทราย
อิ้มตัว pH = 4

หมายเลข ตัวอย่าง	Pore volume	Conc. Total As(V) (ppm)	Conc. Dissolve As(V) (ppm)	Total C/C ₀	Dissolve C/C ₀
0	0	0.000	0.000	0.000	0.000
1	0.5	0.028	0.005	0.002	0.000
3	1.5	0.582	0.514	0.048	0.043
5	2.5	6.680	6.160	0.554	0.511
7	3.5	10.680	9.890	0.886	0.821
9	4.5	11.260	11.000	0.934	0.913
11	5.5	11.220	10.800	0.931	0.896
13	6.5	14.140	10.600	1.173	0.880
15	7.5	11.960	10.500	0.992	0.871
17	8.5	13.000	10.500	1.079	0.871
19	9.5	10.080	10.000	0.836	0.830
21	10.5	13.820	10.300	1.147	0.854
23	11.5	13.700	10.500	1.137	0.871
25	12.5	11.300	10.200	0.938	0.846
27	13.5	10.420	10.700	0.865	0.888
29	15.5	11.000	10.500	0.913	0.871
33	17.5	12.900	10.200	1.070	0.846
35	18.5	12.160	10.200	1.009	0.846
37	19.5	11.920	10.400	0.989	0.863
39	20.5	13.560	11.000	1.125	0.913
41	21.5	11.740	10.400	0.974	0.863
43	22.5	4.520	3.970	0.375	0.329
45	23.5	1.220	0.918	0.101	0.076
47	24.5	0.726	0.361	0.060	0.030

หมายเลข ตัวอย่าง	Pore volume	Conc. Total As(V) (ppm)	Conc. Dissolve As(V) (ppm)	Total C/C_0	Dissolve C/C_0
49	25.5	0.450	0.264	0.037	0.022
51	26.5	0.250	0.212	0.021	0.018
53	27.5	0.224	0.199	0.019	0.017
55	28.5	0.328	0.358	0.027	0.030

ตารางที่ ก.2 ค่าความเข้มข้นของมอนต์มอริลโลในต่ำคลอloyd และความเข้มข้นของอาร์ซิเนตในคลัมป์ราย อิมต้า pH = 7

หมายเลข ตัวอย่าง	Pore volume	Conc. Total As(V) (ppm)	Conc. Dissolve As(V) (ppm)	Total C/C_0	Dissolve C/C_0
0	0	0.000	0.000	0.000	0.000
1	0.5	0.002	0.002	0.000	0.000
3	1.5	0.001	0.001	0.000	0.000
4	2	1.516	1.624	0.119	0.163
5	2.5	10.224	7.267	0.803	0.729
6	3	11.033	7.524	0.866	0.755
7	3.5	13.556	10.682	1.064	1.071
9	4.5	12.235	9.071	0.960	0.910
11	5.5	13.736	9.741	1.078	0.977
13	6.6	12.444	10.476	0.977	1.051
15	7.5	12.992	9.777	1.020	0.981
17	8.5	13.231	9.667	1.039	0.970
19	9.5	12.992	10.351	1.020	1.038
21	10.5	12.734	9.741	0.999	0.977
23	11.5	13.458	10.388	1.056	1.042
25	12.5	12.158	9.904	0.954	0.993
27	13.5	13.290	9.849	1.043	0.988
29	14.5	13.439	10.247	1.054	1.028
31	15.5	12.213	9.534	0.959	0.956

หมายเลข ตัวอย่าง	Pore volume	Conc. Total As(V) (ppm)	Conc. Dissolve As(V) (ppm)	Total C/C ₀	Dissolve C/C ₀
33	16.5	12.737	9.575	1.000	0.960
35	17.5	10.767	10.844	0.845	1.088
37	18.5	11.978	10.280	0.940	1.031
39	19.5	12.565	9.673	0.986	0.970
41	20.5	10.411	9.910	0.817	0.994
43	21.5	0.575	9.751	0.045	0.978
45	22.5	0.137	1.175	0.011	0.118
47	23.5	0.072	0.092	0.005	0.009
49	24.5	0.048	0.071	0.004	0.007
51	25.5	0.050	0.058	0.004	0.006
53	26.5	0.075	0.046	0.006	0.005
55	27.5	0.040	0.037	0.003	0.004
57	28.5	0.032	0.029	0.003	0.003

ตารางที่ ก.3 ค่าความเข้มข้นของมอนต์มอริลโลในต่อคอลลอยด์และความเข้มข้นของอาร์ซิเนตในคลัมป์ทราย
อิมิต้า pH = 10

หมายเลข ตัวอย่าง	Pore volume	Conc. Total As(V) (ppm)	Conc. Dissolve As(V) (ppm)	Total C/C ₀	Dissolve C/C ₀
0	0	0.000	0.000	0.000	0.000
1	0.5	0.016	0.011	0.000	0.001
3	1.5	0.326	0.227	0.030	0.021
5	2.5	8.720	8.300	0.810	0.774
7	3.5	10.660	10.100	0.990	0.942
9	4.5	10.380	10.400	0.970	0.970
11	5.5	10.420	11.200	0.970	1.045
13	6.5	10.660	10.600	0.990	0.989
15	7.5	10.540	10.400	0.980	0.970
17	8.5	10.520	10.500	0.980	0.980

หมายเลข ตัวอย่าง	Pore volume	Conc. Total As(V) (ppm)	Conc. Dissolve As(V) (ppm)	Total C/C ₀	Dissolve C/C ₀
19	9.5	10.460	10.600	0.980	0.989
21	10.5	10.680	10.200	1.000	0.952
23	11.5	10.540	11.200	0.980	1.045
25	12.5	10.640	10.600	0.990	0.989
27	13.5	10.480	10.400	0.980	0.970
29	15.5	11.240	10.200	1.050	0.951
33	17.5	11.820	10.700	1.100	0.998
37	19.5	11.200	9.930	1.050	0.926
39	20.5	10.680	11.00	1.000	1.026
41	21.5	10.560	10.700	0.990	0.998
43	22.5	3.440	3.360	0.320	0.314
45	23.5	0.666	0.684	0.060	0.064
47	24.5	0.097	0.092	0.010	0.009
49	25.5	0.055	0.047	0.010	0.004
51	26.5	0.048	0.036	0.000	0.003
53	27.5	0.064	0.031	0.010	0.003
55	28.5	0.081	0.027	0.010	0.002

ตารางที่ ข.1 ค่าความเข้มของอาร์ชิเนตทั้งหมดของคลอสัมเม่ pH=4 ที่ได้จากโปรแกรม HYDRUS-1D

หมายเลขตัวอย่าง	Pore volume	Conc. Total As(V) (ppm)	EQ-fit	Non EQ-fit
0	0	0.000	0.000	0.000
1	0.5	0.028	0.000	0.000
3	1.5	0.582	0.000	0.000
5	2.5	6.680	7.205	9.613
7	3.5	10.680	11.886	11.652
9	4.5	11.260	12.041	11.767
11	5.5	11.220	12.050	11.811

หมายเลขตัวอย่าง	Pore volume	Conc. Total As(V) (ppm)	EQ-fit	Non EQ-fit
13	6.5	14.140	12.050	11.846
15	7.5	11.960	12.050	11.876
17	8.5	13.000	12.050	11.901
19	9.5	10.080	12.050	11.922
21	10.5	13.820	12.050	11.941
23	11.5	13.700	12.050	11.957
25	12.5	11.300	12.050	11.970
27	13.5	10.420	12.050	11.982
29	15.5	11.000	12.050	12.000
33	17.5	12.900	12.050	12.014
35	18.5	12.160	12.050	12.019
37	19.5	11.920	12.050	12.024
39	20.5	13.560	12.050	12.028
41	21.5	11.740	12.050	12.031
43	22.5	4.520	6.974	6.210
45	23.5	1.220	2.747	2.206
47	24.5	0.726	1.491	1.184
49	25.5	0.450	0.963	0.785
51	26.5	0.250	0.685	0.583
53	27.5	0.224	0.519	0.463
55	28.5	0.328	0.410	0.383

ตารางที่ ข.3 ค่าความเข้มของอาร์ซิเนตทั้งหมดของคอลัมน์ pH=7 ที่ได้จากโปรแกรม HYDRUS-1D

หมายเลขตัวอย่าง	Pore volume	Conc. Total As(V) (ppm)	EQ-fit	Non EQ-fit
0	0	0.000	0.000	0.000
1	0.5	0.002	0.000	0.000
3	1.5	0.001	0.000	0.000
5	2.5	10.224	10.425	9.731

หมายเลขตัวอย่าง	Pore volume	Conc. Total As(V) (ppm)	EQ-fit	Non EQ-fit
7	3.5	13.556	12.602	12.604
9	4.5	12.235	12.730	12.720
11	5.5	13.736	12.740	12.728
13	6.6	12.444	12.740	12.730
15	7.5	12.992	12.740	12.731
17	8.5	13.231	12.740	12.732
19	9.5	12.992	12.740	12.733
21	10.5	12.734	12.740	12.734
23	11.5	13.458	12.740	12.735
25	12.5	12.158	12.740	12.735
27	13.5	13.290	12.740	12.736
29	14.5	13.439	12.740	12.736
31	15.5	12.213	12.740	12.737
33	16.5	12.737	12.740	12.738
35	17.5	10.767	12.740	12.738
37	18.5	11.978	12.740	12.738
39	19.5	12.565	12.740	12.738
41	20.5	10.411	8.333	7.353
43	21.5	0.575	3.587	2.835
45	22.5	0.137	1.979	1.521
47	23.5	0.072	1.270	0.979
49	24.5	0.048	0.883	0.697
51	25.5	0.050	0.624	0.530
53	26.5	0.075	0.407	0.420
55	27.5	0.040	0.169	0.344
57	28.5	0.032	-0.006	0.289

ตารางที่ ข.5 ค่าความเข้มของอาร์ซิเนตทั้งหมดของคอลัมน์ pH=10 ที่ได้จากโปรแกรม HYDRUS-1D

หมายเลขตัวอย่าง	Pore volume	Conc. Total As(V) (ppm)	EQ-fit	Non EQ-fit
0	0	0.000	0.000	0.000
1	0.5	0.016	0.000	0.000
3	1.5	0.326	0.000	0.000
5	2.5	8.720	9.860	8.864
7	3.5	10.660	10.673	10.476
9	4.5	10.380	10.717	10.546
11	5.5	10.420	10.720	10.568
13	6.5	10.660	10.720	10.586
15	7.5	10.540	10.720	10.601
17	8.5	10.520	10.720	10.615
19	9.5	10.460	10.720	10.627
21	10.5	10.680	10.720	10.638
23	11.5	10.540	10.720	10.647
25	12.5	10.640	10.720	10.656
27	13.5	10.480	10.720	10.663
29	15.5	11.240	10.720	10.676
33	17.5	11.820	10.720	10.685
37	19.5	11.200	10.720	10.693
39	20.5	10.680	10.720	10.696
41	21.5	10.560	10.720	10.699
43	22.5	3.440	6.480	4.989
45	23.5	0.666	2.666	1.605
47	24.5	0.097	1.463	0.826
49	25.5	0.055	0.937	0.536
51	26.5	0.048	0.644	0.393
53	27.5	0.064	0.433	0.309
55	28.5	0.081	0.297	0.255

